

В. И. РИНСКИЙ

ЭКОНОМИЧНЫЕ СЧЕТЧИКИ ИМПУЛЬСОВ

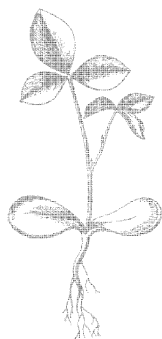
•ЭНЕРГИЯ•

МАССОВАЯ РАДИОБИБЛИОТЕКА

Выпуск 670

В. И. РИНСКИЙ

**ЭКОНОМИЧНЫЕ
СЧЕТЧИКИ
ИМПУЛЬСОВ**



Scan AAW



«ЭНЕРГИЯ»

МОСКВА 1968

6П2.154

Р 49

УДК 621.374.32

РЕДАКЦИОННАЯ КОЛЛЕГИЯ:

Берг А. И., Бурдейный Ф. И., Бурлянд В. А., Ванеев В. И.,
Геништа Е. Н., Жеребцов И. П., Канаева А. М., Корольков В. Г.,
Кренкель Э. Т., Куликовский А. А., Смирнов А. Д., Тарасов Ф. И.,
Шамшур В. И.

В. И. Ринский

Р 49 Экономичные счетчики импульсов, М., «Энергия», 1968.

40 стр. с илл. (Массовая радиобиблиотека Вып. 670.)

Брошюра содержит подробные описания схем, принципа действия, конструкций и методики налаживания электронных счетчиков импульсов на транзисторах и приборах тлеющего разряда. Высокая экономичность и малые габариты позволяют питать эти счетчики от химических источников тока и использовать их в переносных конструкциях. Описываемые конструкции могут быть выполнены как с помощью соединительных проводников, так и методом печатного монтажа. Описываются также некоторые приборы для налаживания счетчиков импульсов.

Брошюра предназначена для радиолюбителей-конструкторов.

3-4-5

350-68

6П2.154

Ринский Владимир Исаакович

Экономичные счетчики импульсов

Редактор *Р. Р. Васильев*

Техн. редактор *Т. Н. Царева*

Обложка художника *А. М. Кувшинникова*

Корректор *И. А. Володяева*

Сдано в набор 27/XI 1967 г.

Подписано к печати 26/II 1968 г.

Т-0026

Формат 84×108^{1/32}

Бумага типографская мелованная

Усл. печ. л. 2,1

Уч.-изд. л. 2,84

Тираж 30 000 экз.

Цена 13 коп.

Зак. 645

Издательство „Энергия“. Москва, Ж-114, Шлюзовая наб., 10.

Московская типография № 10 Главполиграфпрома
Комитета по печати при Совете Министров СССР.
Шлюзовая наб., 10.

ПРЕДИСЛОВИЕ

Электронные счетчики импульсов нашли широкое применение в промышленной и радиолюбительской аппаратуре. С помощью счетчиков импульсов измеряются ионизирующие излучения, осуществляется счет электрических явлений: включений, выключений, замыканий, перенапряжений и др., а также счет деталей или других объектов в промышленности. Помимо самостоятельного применения, электронные счетчики являются составными частями частотомеров, вычислительных устройств и измерителей временных интервалов. Счетчики могут работать в качестве делителей частоты, используемых в генераторах импульсов, калибраторах, электронных программных устройствах, электромузыкальных инструментах и других приборах. В измерительной технике часто прибегают к преобразованию измеряемой величины в пропорциональное ей число импульсов и их последующему счету в приборах с цифровым отсчетом.

Таким образом, область применения электронных счетчиков импульсов достаточно обширна и является перспективной для деятельности радиолюбителей-конструкторов.

К числу важнейших параметров счетчиков импульсов относится их экономичность, приобретающая особое значение при конструировании переносных приборов с батарейным питанием. Выбор схемы и практически выполнение конструкции таких счетчиков требуют значительного объема предварительных работ, а иногда и макетных испытаний ряда схемных вариантов. Естественно поэтому стремление конструктора почерпнуть из литературы сведения о разработанных схемах или хотя бы отправные данные для их конструирования.

Настоящая брошюра содержит подробные описания принципа действия, конструктивных особенностей и методики налаживания построенных автором счетчиков импульсов на транзисторах и приборах тлеющего разряда. Благодаря высокой экономичности, сочетающейся с малыми габаритами и весом, эти устройства могут питаться от химических источников тока и применяться в переносной аппаратуре. В дополнение к основному содержанию брошюры описываются некоторые приборы для налаживания и испытания счетчиков импульсов.

Публикуемый в порядке обмена радиолюбительским опытом материал должен облегчить радиолюбителю-конструктору самостоятельное изготовление экономичных счетчиков электрических импульсов и их применение в различной аппаратуре.

Для более глубокого изучения рассматриваемых вопросов рекомендуется литература, список которой приведен в конце брошюры.

Глава первая

ЭЛЕКТРИЧЕСКИЕ ИМПУЛЬСЫ И ИХ СЧЕТ

1. КРАТКИЕ СВЕДЕНИЯ ОБ ЭЛЕКТРИЧЕСКИХ ИМПУЛЬСАХ

Импульсная техника, возникшая в результате развития радиолокации и телевидения, нашла затем применение в ядерной физике, электронно-вычислительной технике, автоматике и телемеханике и в настоящее время является одной из ведущих отраслей радиоэлектроники. К числу задач импульсной техники относятся генерирование, преобразование, усиление, передача и использование электрических импульсов.

Электрическим импульсом называется кратковременное отклонение напряжения или тока от постоянной величины, например от нуля.

Различают видео- и радиоимпульсы. Видеоимпульс — это импульс постоянного напряжения или тока. В зависимости от направления тока различают импульсы положительной или отрицательной полярности. Радиоимпульс — это кратковременная последовательность (пакет) высокочастотных колебаний. В дальнейшем будут рассматриваться только видеоимпульсы, для краткости называемые просто импульсами.

Импульсы могут быть периодическими, непериодическими и однократными. Они характеризуются следующими параметрами: амплитудой, длительностью, периодом повторения, скважностью и др.

На рис. 1 изображены периодические импульсы напряжения и указаны их параметры.

Амплитудой импульса U называется наибольшее отклонение напряжения от постоянного уровня. Длительность импульса τ условно определяется как время, в течение которого напряжение превышает $0,9U$. Для периодических импульсов время, отсчитанное между соответствующими точками двух соседних импульсов, называется периодом повторения T . Величина, обратная периоду, называется частотой повторения f . Отношение периода повторения к длительности импульса называется скважностью импульсов.

Временное течение импульса состоит из трех стадий: нарастание напряжения, которому на рис. 1 соответствует фронт импульса AB (время, в течение которого амплитуда импульса изменяется от $0,1U$ до $0,9U$), незначительное изменение напряжения — вершина импульса BC и убывание напряжения — спад импульса CD (время изменения амплитуды импульса от $0,9U$ до $0,1U$). Соотношение длительностей фронта, вершины и спада определяет форму импульса. Различают прямоугольные, остроконечные, трапецевидные и другие импульсы.

В качестве источников импульсов применяются импульсные генераторы, например мультивибраторы, или блокинг-генераторы. Импульсы могут также вырабатываться некоторыми датчиками —

устройствами, в которых неэлектрические величины превращаются в электрические (фотоэлементы, счетчики ядерного излучения и др.).

Для изменения параметров импульсов их подвергают преобразованиям, в частности усилению, ограничению, дифференцированию, интегрированию и временной задержке.

2. ПРИМЕНЕНИЕ СЧЕТЧИКОВ ИМПУЛЬСОВ

Одной из задач импульсной техники является счет импульсов, возникающих в том или ином устройстве или физическом объекте. Например, в производственных условиях определение количества изделий на конвейере, числа оборотов вращающихся деталей, пусков и остановок механизмов производится путем счета соответствующих этим явлениям электрических импульсов.

В технике связи счет импульсов осуществляется для учета количества телефонных разговоров, числа включений аппаратуры, для определения скорости телеграфирования и т. д.

Некоторые явления в линиях электропередач (замыкания, перенапряжения, обрывы, попадания молний) сопровождаются возникновением электрических импульсов, которые могут регистрироваться и подсчитываться.

Исключительно важен счет импульсов в ядерной физике и технике, где исследование и использование радиоактивного распада требуют измерения интенсивности ядерных излучений. Эти измерения производятся посредством счета импульсов, соответствующих квантам излучения или элементарным частицам. В электронных цифровых вычислительных машинах арифметические действия с числами сводятся к представлению их в виде импульсов и последующим операциям с этими импульсами. В арифметическом и запоминающем устройствах машины содержатся узлы (счетчики, регистры и др.), действие которых также основано на счете импульсов. Так, например, с помощью счетчиков импульсов осуществляется перевод чисел из десятичной системы счисления в двоичную и наоборот и некоторые другие операции.

Счет импульсов применяется также для измерения параметров электрических сигналов: частоты и периода колебаний, длительности и скважности импульсов. При изменениях напряжения, тока, сопротивления, емкости эти величины могут быть преобразованы в импульсы, число которых соответствует измеряемой величине, так что процесс измерения сводится к счету импульсов. Возможно также измерение неэлектрических величин, например времени, силы, температуры, путем подсчета пропорционального им числа импульсов, вырабатываемых соответствующими датчиками.

Счетчики импульсов могут использоваться в телеметрической аппаратуре, в медицинских приборах, в электронных обучающих устройствах.

По-видимому, возможности применения счетчиков импульсов в приборах для различных отраслей народного хозяйства далеко не исчерпаны, и в этом направлении может развиваться творческая инициатива радиолюбителей-конструкторов.

3. ПРИНЦИП ДЕЙСТВИЯ СЧЕТЧИКОВ ИМПУЛЬСОВ

Счетчик импульсов должен выполнять следующие функции:

- 1) счет поступающих импульсов в определенной системе счисления (преимущественно двоичной или десятичной);
- 2) индикацию числа зарегистрированных импульсов;
- 3) хранение

этого числа и 4) сброс показаний на нуль и подготовку к новому измерению.

Счет импульсов может производиться в различных системах счисления. Система счисления характеризуется ее основанием — числом используемых в ней цифр. В десятичной системе десять цифр: 0, 1, ..., 9, в двоичной — всего две цифры: 0 и 1. Любое десятичное число N можно перевести в двоичную систему, представив его в виде многочлена:

$$N = k_n \cdot 2^n + k_{n-1} \cdot 2^{n-1} + \dots + k_1 \cdot 2^1 + k_0 \cdot 2^0,$$

члены которого соответствуют разрядам двоичного числа, а коэффициенты k_n, \dots, k_0 равны 0 или 1. Например, десятичное число 19 представляется:

$$19 = 1 \cdot 2^4 + 0 \cdot 2^3 + 0 \cdot 2^2 + 1 \cdot 2^1 + 1 \cdot 2^0.$$

В записи изображаются только коэффициенты многочлена, т. е. 19 записывается в двоичной системе в виде 10011.

Перевод двоичного числа в десятичную систему осуществляется путем суммирования значений двоичных разрядов. Например, двоичному числу 10100 соответствует десятичное число

$$1 \cdot 2^4 + 0 \cdot 2^3 + 1 \cdot 2^2 + 0 \cdot 2^1 + 0 \cdot 2^0 = 16 + 4 = 20.$$

В табл. 1 дается перевод первых 16 чисел.

На рис. 2 изображена блок-схема двоичного счетчика, представляющего собой цепочку последовательно соединенных триггеров Tr_1 — Tr_4 — схем с двумя устойчивыми состояниями. Эти состояния, регистрируемые индикаторами, обозначаются 0 или 1, что соответствует цифрам двоичной системы счисления. Конкретные схемы триггеров рассмотрены в последующих главах, здесь отметим лишь, что при поступлении на вход триггера серии импульсов одной полярности (например, положительных) каждый из них изменяет состояние триггера на противоположное, а на выходе его можно получить импульсы чередующейся полярности. С помощью так называемых цепей запуска обеспечивается чувствительность триггера к импульсам только одной полярности, благодаря чему состояние последующего триггера изменяется лишь после поступления на вход предыдущего двух импульсов, т. е., например, после возвращения предыдущего триггера на 0.

Следовательно, триггер уменьшает число импульсов одной полярности в 2 раза.

Перед началом счета все триггеры Tr_1 — Tr_4 устанавливаются

Т а б л и ц а 1

Десятичная система	1	2	3	4	5	6	7	8
Двоичная система	00001	00010	00011	00100	00101	00110	00111	01000
Десятичная система	9	10	11	12	13	14	15	16
Двоичная система	01001	01010	01011	01100	01101	01110	01111	10000

в состояние 0 (сбрасываются на нуль), и индикаторы показывают двоичное число 0000. Первый импульс, поступивший на вход Tr_1 , изменяет его состояние на 1 (показания индикатора становятся равными 0001). Второй импульс возвращает на 0 Tr_1 , причем импульс с его выхода поступает на вход Tr_2 и изменяет его состояние на 1 (показания 0010). Третий импульс изменяет состояние Tr_1 (показа-

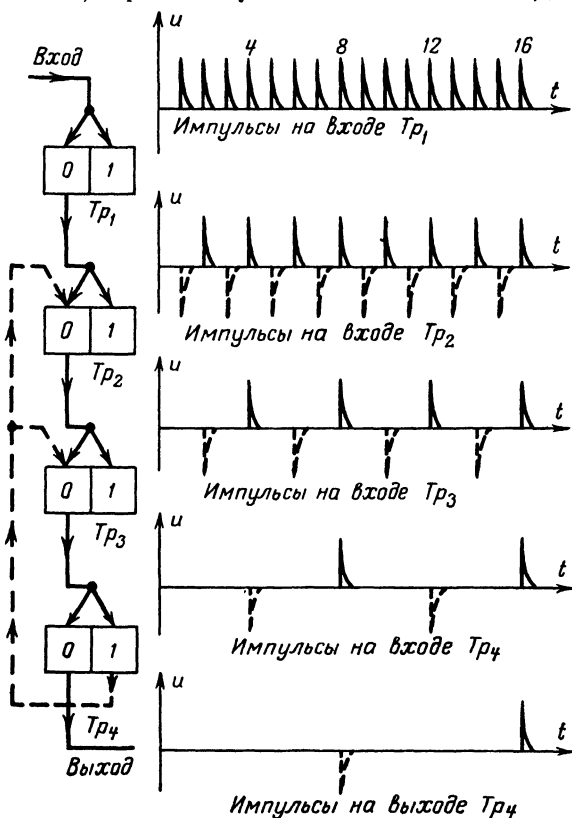


Рис. 2. Блок-схема счетчика импульсов.

ния 0011). Четвертый импульс возвращает Tr_1 на 0, после чего Tr_2 также возвращается на 0, вследствие чего изменяется состояние Tr_3 (показания 0100) и т. д. Таким образом, индикаторы показывают число сосчитанных импульсов в двоичной системе счисления (см. табл. 1).

Аналогичные процессы происходят в схеме счетчика и при счете следующих импульсов, вплоть до пятнадцатого (показания 1111), который исчерпывает емкость счетчика. Шестнадцатый импульс возвращает все триггеры на 0.

При необходимости считать большее количество импульсов число триггеров должно быть соответственно увеличено. Например,

для счета 1 000 импульсов счетчик должен иметь не менее 10 триггеров (так как $2^{10}=1024$). В случае многоразрядного двоичного счетчика перевод его показаний в десятичную систему счисления затруднителен, и, чтобы избежать его, применяют так называемые двоично-десятичные пересчетные схемы (декады). Такая схема отличается от двоичного счетчика наличием цепи обратной связи (штриховые линии на рис. 2). Импульсы до седьмого (0111) включительно регистрируются схемой, как описано выше. Восьмой импульс изменяет состояния всех триггеров (1000), но после этого импульс обратной связи с выхода Tr_1 поступает на входы Tr_2 и Tr_3 и еще раз изменяет их состояния (1110). Девятый импульс изменяет состояние Tr_1 (1111), а десятый сбрасывает все триггеры на нуль (0000). Получающиеся при счете показания индикаторов (1110) и (1111) могут быть приведены в соответствие с числами импульсов (8 и 9), если значение 4-го разряда показаний индикаторов условно полагать равным 2 (а не 8, как в двоичной системе). Соответственно принимаемым значениям разрядов такая система называется двоично-кодированной: 2-4-2-1.

Счет до 10 производится в этой системе цепочкой из четырех триггеров, до 100 — из восьми, до 1 000 — из двенадцати триггеров и т. д. Несмотря на явно меньшую (ввиду увеличения числа триггеров) по сравнению с двоичными счетчиками экономичность декад, им нередко отдают предпочтение благодаря простоте отсчета показаний, поскольку каждый разряд десятичного числа находится суммированием не более четырех однозначных чисел.

Существенными недостатками электронных счетчиков являются ограниченная емкость (за исключением счетчиков на ферритовых сердечниках) и разрушение накопленной в них информации при отключении источника питания. Поэтому в практических схемах к выходу электронного счетчика часто присоединяется электромеханический, что увеличивает общую емкость счетчика. При этом быстродействие устройства определяется электронным счетчиком, а в случае отключения питания старшие разряды зарегистрированного числа (т. е. наиболее ценная часть информации) сохраняются в электромеханическом счетчике.

В ряде случаев практическое осуществление конструктивных идей, основанных на счете импульсов, затрудняется отсутствием схем и описаний экономичных счетчиков. Особенно остро этот вопрос стоит при разработке малогабаритных переносных устройств с автономным питанием, так как допустимый расход электроэнергии лимитируется габаритами и весом их источников тока. В следующих главах приводятся описания нескольких конструкций счетчиков, в которых достигнута удовлетворительная экономичность при сохранении достаточно высоких электрических характеристик.

Глава вторая

ТРАНЗИСТОРНЫЕ СЧЕТЧИКИ ИМПУЛЬСОВ

4. ТРАНЗИСТОРНЫЙ ФОРМИРОВАТЕЛЬ ИМПУЛЬСОВ С ЭЛЕКТРОМЕХАНИЧЕСКИМ СЧЕТЧИКОМ

Технические данные

Максимальная скорость счета 4 имп/сек.

Запуск отрицательными импульсами с амплитудой ≥ 3 в.

Напряжение питания 4,5 в.

Потребляемая мощность: в ждущем режиме 10 мвт; при максимальной скорости счета 140 мвт.

Формирователь предназначен для нормализации по амплитуде и длительности импульсов, приводящих в действие электромеханический счетчик.

Схема. При разомкнутом выключателе BK_1 схема (рис. 3) представляет собой ждущий мультивибратор на транзисторах T_1 и T_2 . В отсутствие пусковых импульсов отрицательное смещение, поступающее через резистор R_3 , открывает транзистор T_1 и напряжение на его коллекторе и соединенной с ним базе транзистора T_2 относительно эмиттера близко к нулю, благодаря чему T_2 заперт, а конденсатор C_1 заряжен почти до напряжения источника питания, причем плюс (левая обкладка C_1) приложен к базе T_1 .

Отрицательный пусковой импульс, приходящий со входа формирователя через диод D_1 на базу T_2 , открывает его, и напряжение конденсатора C_1 распределяется между малым сопротивлением участка коллектор — эмиттер T_2 и большим обратным сопротивлением участка база — эмиттер T_1 , который вследствие этого запирается. Отрицательное напряжение на коллекторе T_1 и базе T_2 увеличивается, что способствует насыщению T_2 . Такое состояние схемы сохраняется вплоть до окончания разряда C_1 через R_3 и D_2 . В течение этого времени (приблизительно 0,15 сек) T_2 открыт, и его ток, проходя по обмотке электромеханического счетчика ЭМС, вызывает его срабатывание. После разряда C_1 восстанавливается исходное состояние формирователя и схема готова к регистрации следующего импульса. Диод D_2 и конденсатор C_2 защищают транзистор T_2 от пробоя напряжением самоиндукции, возникающим на концах обмотки электромеханического счетчика в момент запираания T_2 .

При замыкании BK_1 уменьшается величина коллекторной нагрузки T_1 и схема переходит в режим генерирования периодических колебаний с частотой 3 гц. Этот режим используется для проверки формирователя.

Детали. В формирователе применен четырехразрядный электро-механический счетчик с сопротивлением обмотки постоянному току 100 ом, резисторы типа УЛМ, конденсаторы типа ЭМ. Коэффициент усиления транзисторов $B=40 \div 50$. Возможно применение транзисторов других типов.

Налаживание формирователя заключается в установке напряжений на транзистора T_1 путем подбора сопротивлений резисторов R_1 и R_3 . Быстродействие схемы можно несколько повысить, отрегулировав натяжение возвратной пружины ЭМС и уменьшив емкость конденсатора C_1 до 5 мкф.

Помимо самостоятельного применения, эта схема может использоваться в сочетании с электронным счетчиком, уменьшающим во время счета частоту повторения импульсов до 4—5 гц.

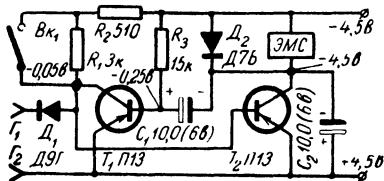


Рис. 3. Транзисторный формирователь импульсов.

5. ТРАНЗИСТОРНЫЙ СЧЕТЧИК ИМПУЛЬСОВ

Технические данные

Емкость счетчика 640 000 импульсов.

Максимальная скорость счета 250 *имп/сек.*

Коэффициент пересчета 64.

Запуск положительных импульсами с амплитудой 2—4 *в* и длительностью ≥ 3 *мксек.*

Сброс показаний пересчетной схемы ручной или отрицательным импульсом с амплитудой 2—4 *в* и длительностью ≥ 5 *мксек.*

Контроль работоспособности — с помощью внутреннего генератора.

Допустимая температура окружающей среды от -10 до $+40^\circ\text{C}$.

Питание от внутренней батареи с напряжением 4,5 *в.*

Потребляемая мощность не более 0,9 *вт.*

Размеры $190 \times 155 \times 50$ *мм.*

Вес с питанием 820 *г.*

Схема. Прибор состоит из шестиразрядной двоничной пересчетной схемы и четырехразрядного десятичного электромеханического счетчика, благодаря чему общая емкость счетчика равна:

$$2^6 \cdot 10^4 = 64 \cdot 10\,000 = 640\,000 \text{ импульсов.}$$

Пересчетная схема содержит шесть одинаковых счетных ячеек, две из которых (1 и 6) показаны на рис. 4, а остальные опущены. Счетная ячейка 1 представляет собой насыщенный триггер на транзисторах T_3 и T_4 и индикатор его состояний на транзисторах T_5 , T_6 . Триггер может находиться в одном из двух состояний: 0, при котором T_3 открыт, а T_4 заперт, или 1, при котором T_3 заперт, а T_4 открыт. Эти состояния устойчивы, так как через резисторы R_9 , R_{10} осуществляется положительная обратная связь между T_3 и T_4 , обеспечивающая сохранение установившегося состояния.

Перед началом счета триггеры всех ячеек устанавливаются в состояние 0 с помощью отрицательного импульса, подаваемого на гнездо G_3 , или кратковременным замыканием выключателей BK_1 . При этом на базу T_3 через цепочку $R_6 D_1$ кратковременно поступает отрицательное напряжение, которое открывает T_3 , и напряжение на его коллекторе и связанной с ним базе T_4 приближается к нулю, так что T_4 запирается. Отрицательное напряжение на коллекторе T_4 и связанной с ним базе T_3 увеличивается, что вызывает возрастание тока T_3 вплоть до его насыщения. Таким образом, для насыщения T_3 и записывания T_4 достаточно кратковременного воздействия отрицательного напряжения на базу T_3 , после чего состояние 0 сохраняется благодаря положительным связям между транзисторами. Отрицательное напряжение с коллектора T_4 через резистор R_{13} приложено ко входу двухкаскадного усилителя постоянного тока на транзисторах T_5 , T_6 , в котором T_5 открывается, а T_6 запирается, и индикаторная лампа накаливания L_1 гаснет, что соответствует состоянию 0 ячейки 1. Аналогичные процессы происходят при установке (сбросе) на нуль и в остальных ячейках. Величины напряжений, поступающих на диоды D_2 , D_3 с коллекторов T_3 , T_4 , неодинаковы, поэтому в состоянии 0 диод D_2 открыт, а D_3 заперт, что соответствует проводимости транзисторов T_3 , T_4 . Указанная на схеме полярность включения диодов D_2 , D_3 обеспечивает чувствительность триггера только к положительным импульсам.

Подлежащие счету положительные импульсы с входных гнезд $\Gamma_1 \Gamma_2$ через переключатели Π_{16} и Π_2 поступают на конденсаторы C_3 , C_4 , и первый импульс через C_3 и открытый диод D_2 проходит на базу T_3 и запирает его, вследствие чего T_4 насыщается, и триггер

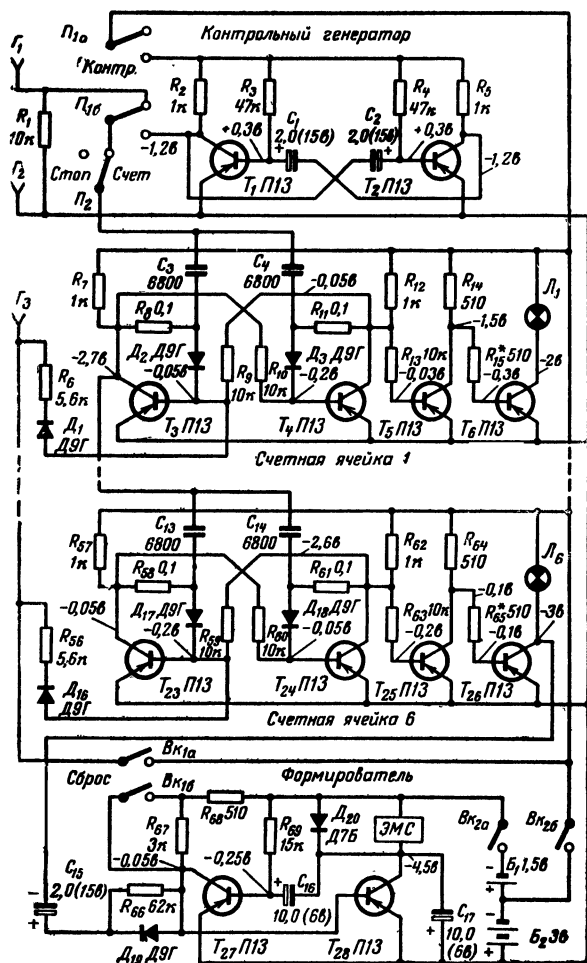


Рис. 4. Транзисторный счетчик импульсов.

переходит в состояние '1, причем открывается диод D_3 и запирается D_2 . Одновременно с насыщением T_4 запирается T_5 и открывается T_6 , ток которого вызывает свечение индикаторной лампы L_1 . В момент запираия T_3 увеличивается отрицательное напряжение на его коллекторе и на ячейку 2 поступает отрицательный импульс, который, однако, не выводит ее из состояния 0, так как она реаги-

рует только на положительные импульсы. Второй поступивший на входные гнезда положительный импульс проходит через C_4 и открытый диод D_3 и запирает T_4 , причем открывается T_3 и ячейка 1 возвращается в состояние 0. В момент открывания T_3 напряжение на его коллекторе приближается к нулю, и положительный импульс, поступающий на левый транзистор ячейки 2, переводит ее в состояние 1. Третий входной импульс вновь устанавливает ячейку 1 в состояние 1 и т. д.

Таким образом, происходит счет импульсов в двоичной системе счисления вплоть до прихода 63-го импульса, после которого все ячейки находятся в состоянии 1. 64-й импульс сбрасывает все ячейки на нуль, индикаторные лампы $L_1—L_6$ гаснут, и возникающий на коллекторе T_{26} отрицательный импульс, пройдя через цепочку $C_{15}D_{19}R_{63}$, запускает формирователь на транзисторах $T_{27}T_{28}$, устройство и принцип действия которого описаны выше. Показания электромеханического счетчика ЭМС увеличиваются на единицу, что соответствует 64 входным импульсам, после чего возобновляется работа пересчетной схемы, сопровождающаяся после каждых 64 импульсов срабатыванием ЭМС.

Остановка счета наступает при прекращении поступления входных импульсов или при разрыве входной цепи переключателем $П_2$. Поскольку значения показаний индикаторов двоичных ячеек 1, 2, ..., 6 равны соответственно 1, 2, ..., 32, то число зарегистрированных импульсов равняется сумме показаний индикаторов плюс показания ЭМС, умноженные на 64. Например, если показания ЭМС увеличились на 15 и горят индикаторы ячеек 1, 4 и 5, то число импульсов равно 985, так как $1+8+16+15 \cdot 64=985$.

Для проверки работоспособности счетчика служит контрольный генератор, представляющий собой мультивибратор на транзисторах T_1, T_2 , прямоугольные импульсы которого при переводе переключателя $П_1$ в нижнее положение подаются на вход ячейки 1. Частота повторения импульсов мультивибратора выбрана равной 6,4 гц, благодаря чему срабатывание ЭМС происходит через каждые 10 сек, что наряду с периодическим зажиганием индикаторных ламп свидетельствует об исправности прибора. Питающие напряжения —3 в и —4,5 в поступают на схему от батарей B_1, B_2 через двоянный выключатель $Bк_2$. Возможно питание от внешнего источника тока.

Детали. В приборе применены транзисторы типа П13 с коэффициентами усиления $B=20 \div 30$ в триггерах и мультивибраторе и $B=40 \div 50$ в усилителях и формирователе. Лампы $L_1—L_6$ типа ЛЭ 1 в $\times 0,075$ а или ЛЭ 2,5 в $\times 0,075$ а; возможно использование миниатюрных лампочек Э34 от медицинских приборов. ЭМС — четырехразрядный телефонный счетчик с сопротивлением обмотки 100 ом. Конденсаторы типов КДС и ЭМ, резисторы — УЛМ или TESLA с допустимой мощностью 0,05 вт. Переключатели $П_1, П_2, Bк_1$ и $Bк_2$ типа ТП1-2, вместо $Bк_1$ можно применить кнопку. Батареи B_1 и B_2 содержат соответственно один и два элемента от батарей КБС-Л1-0,5.

Конструкция и монтаж. Монтаж счетчика (рис. 5) выполнен на гетинаксовой плате размерами $180 \times 145 \times 3$ мм, на верхней стороне которой расположены ЭМС, транзисторы и все мелкие детали, а на нижней — соединительные проводники. Батарея размещается в отсеке, образованном монтажной платой и двумя гетинаксовыми пластинами $180 \times 20 \times 3$ мм и $180 \times 45 \times 3$ мм, на большей из которых укреплены переключатели и гнезда. Выводы деталей пропущены сквозь отверстия в плате и соединяются между собой голыми неп-

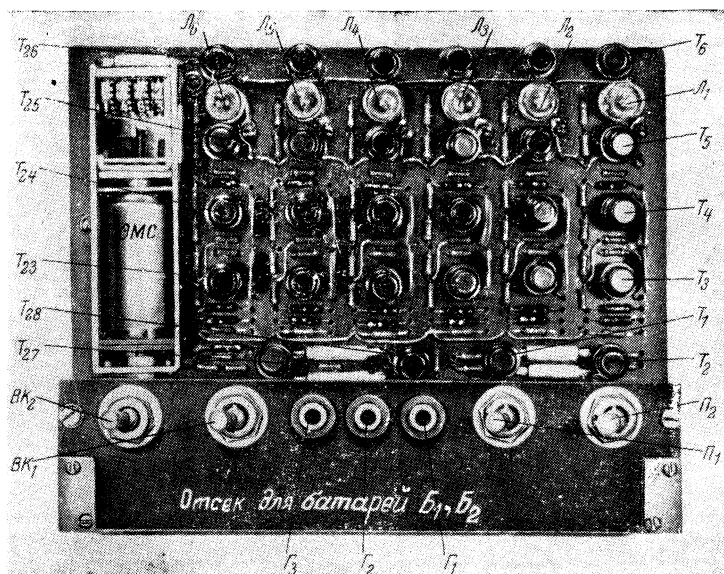


Рис. 5. Монтаж транзисторного счетчика.

пересекающимися проводниками, что делает возможным применение печатного монтажа. Монтажная схема ячейки 1 приведена на рис. 6, где соединительные проводники на верхней стороне платы показаны сплошными, а на нижней — штриховыми линиями. Остальные ячейки смонтированы аналогично. Прибор заключен в пластмассовый корпус, через отверстия в крышке которого проходят ручки переключателей и однополюсные вилки, присоединяемые к гнездам (рис. 7).

Налаживание счетчика начинают с измерения режимов транзисторов, которые для состояния 1 указаны на схеме ячейки 1, а для состояния 0 — на схеме ячейки 6 (см. рис. 4). В случае необходимости регулировку режимов производят изменением величин резисторов в цепях баз транзисторов. Затем следует проверить работу счетчика от внутреннего генератора, наблюдая за свечением индикаторных ламп и срабатыванием ЭМС. После этого подбирают резисторы R_3 , R_4 так, чтобы частота контрольного генератора равнялась 6,4 гц (срабатывание ЭМС через каждые 10 сек). Наконец, подбором резисторов в цепях баз выходных транзисторов усилителей постоянного тока добиваются одинаковой яркости свечения ламп $Л_1$ — $Л_6$. При этом ток коллектора открытого транзистора не должен превышать 50—60 ма, чтобы мощность, рассеиваемая на транзисторе, не превышала допустимой (150 мвт для П13).

Для нормальной работы счетчика выходное сопротивление источника импульсов должно быть малым (1 ком). Если это условие не выполняется, желательно включить между источником импульсов и счетчиком эмиттерный повторитель, который может питаться от батарей счетчика.

Эксплуатация счетчика. Включив счетчик, замыкают BK_1 , при этом индикаторные лампы гаснут, формирователь переходит в режим самовозбуждения, ЭМС начинает вращаться. Достигнув удобного для начала отсчета показания ЭМС (например, 1 400, 2 600

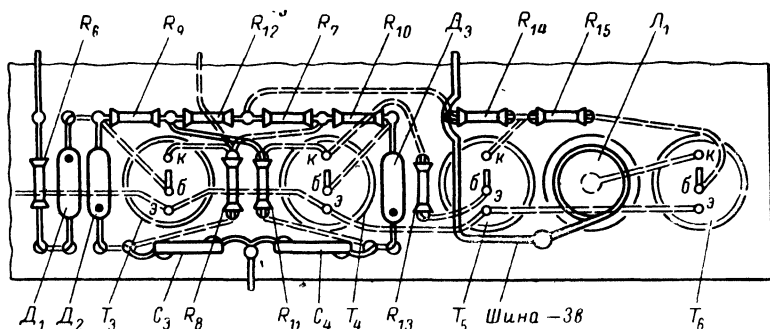


Рис. 6. Монтажная схема ячейки транзисторного счетчика.

и т. п.), размыкают BK_1 и присоединяют к гнездам Γ_1 — Γ_2 источник подлежащих счету импульсов. Начало и прекращение счета осуществляется переключателем Π_2 .

Усовершенствование счетчика с целью повышения его быстро-

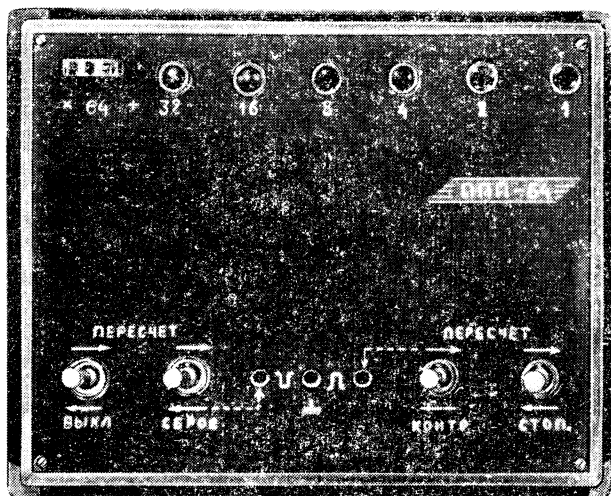


Рис. 7. Внешний вид транзисторного счетчика.

действия возможно путем увеличения числа счетных ячеек и добавления в первых ячейках конденсаторов порядка 500 пф параллельно резисторам R_9, R_{10} . Более простое решение заключается в применении быстродействующего ЭМС (например, типа СБ-1м/50).

6. ЭКОНОМИЧНАЯ ТРАНЗИСТОРНАЯ ПЕРЕСЧЕТНАЯ ДЕКАДА

Технические данные

Коэффициент пересчета 10 (двоично-кодированная система 2—4—2—1) или 16 устанавливается переключателем.

Максимальная скорость счета 5 000 имп/сек.

Запуск положительными импульсами с амплитудой 0,5—2 в и длительностью ≥ 10 мксек.

Возможно получение выходного сигнала после набора заданного числа импульсов, которое устанавливается с помощью кнопок.

Сброс показаний нажатием кнопки или отрицательным импульсом с амплитудой 0,5—2 в и длительностью ≥ 10 мксек.

Допустимая температура окружающей среды от -10 до $+40^\circ\text{C}$. Питание от источника с напряжением $2,4 \pm 0,6$ в.

Средняя потребляемая мощность 35 мвт.

Размеры $180 \times 135 \times 15$ мм.

Вес 140 г.

Схема. Декада состоит из идентичных ячеек 1—4 (рис. 8), в которых применены одинаковые детали и полупроводниковые приборы. Каждая ячейка содержит насыщенный триггер на транзисторах T_1, T_2 и управляемый блокинг-генератор на транзисторе T_3 , нагрузкой которого является индикаторная неоновая лампа L_1 .

Схемы триггеров и цепей их запуска аналогичны описанным ранее; отличие заключается, главным образом, в добавлении конденсаторов C_2, C_3 для увеличения быстродействия триггера и диода D_3 для поглощения отрицательных импульсов, поступающих на его вход. Перед началом счета все ячейки декады устанавливаются на нуль кратковременным нажатием кнопки Kn_5 или подачей отрицательного импульса на шину *Сброс*. После этого транзистор T_1 заперт, а T_2 насыщен, и напряжение на его коллекторе и соединенной с ним через резистор R_{11} базе T_3 близко к нулю, вследствие чего колебания блокинг-генератора отсутствуют и индикаторная лампа L_1 не горит. Одновременно гаснут индикаторы других ячеек.

Приходящий на вход декады положительный импульс переводит ячейку 1 в состояние 1, причем T_1 насыщается, а T_2 запирается, и отрицательное напряжение с его коллектора через резистор R_{11} поступает на базу T_3 . Благодаря этому возникают колебания блокинг-генератора, вызывающие свечение L_1 , что соответствует состоянию 1. При разомкнутом выключателе BK_1 дальнейший счет импульсов происходит в двоичной системе вплоть до прихода 16-го импульса, сбрасывающего все ячейки декады на нуль, что сопровождается проявлением импульса на выходе декады.

Если же BK_1 замкнут, то при поступлении на вход 8-го импульса переходит в состояние 1 ячейка 4, затем ячейки 2 и 3 благодаря действию цепи обратной связи (детали C_6, R_{13}, D_6, D_7). После прихода 9-го импульса все ячейки находятся в состоянии 1 (светятся все индикаторы), а 10-й импульс сбрасывает декаду на нуль. Таким образом, при замкнутом BK_1 происходит десятичный пересчет в двоично-кодированной системе 2—4—2—1. Несмотря на отсутствие в схеме усилителей импульсов обратной связи, десятичный пе-

фективного использования энергии магнитного поля трансформатора. Яркость свечения индикаторных неоновых ламп достаточна для считывания показаний со значительного расстояния и под большим углом зрения.

Для образования счетчика требуемой емкости декады могут включаться последовательно, для чего необходимо соединить выводы 5, 7, 8 и 9 предыдущей декады соответственно с выводами 1, 2,

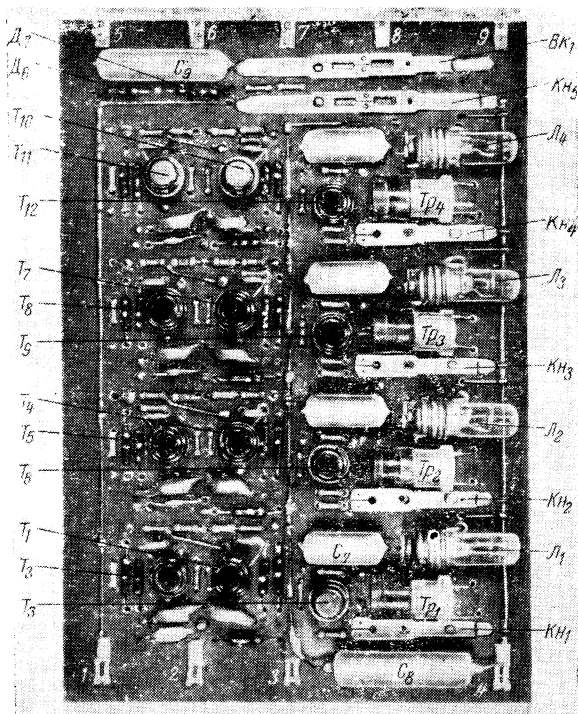


Рис. 9. Монтаж декады.

3 и 4 последующей. При таком соединении все декады питаются от общего источника тока и имеют общие цепи сброса. В декадах старших разрядов счетчика, где скорость счета невелика, применение конденсаторов C_2 , C_3 необязательно.

В ряде случаев бывает необходима остановка счета или другие действия при наборе заданного числа импульсов n (счетчик с настроенным выходом). Для этого предусмотрена возможность предварительной установки с помощью кнопок $КН_1$ — $КН_4$ обратного кода заданного числа, т. е. величины $N - n$, где N — максимальная ем-

кость счетчика. Если такой режим не требуется, детали D_4 , R_5 , R_9 и кнопки K_{H1} — K_{H4} могут быть удалены из схемы.

Конструкция и монтаж. Декада смонтирована на гетинаксовой плате размерами $180 \times 135 \times 1$ мм, на верхней стороне которой размещены все детали, кнопки, индикаторные лампы и шины питания и сброса (рис. 9). С обратной стороны платы располагаются соединения, выполненные непересекающимися жесткими проводниками, что дает возможность перейти на печатный монтаж без какой-либо переработки монтажной схемы (рис. 10). В многоразрядном счетчи-

к ячейке 2

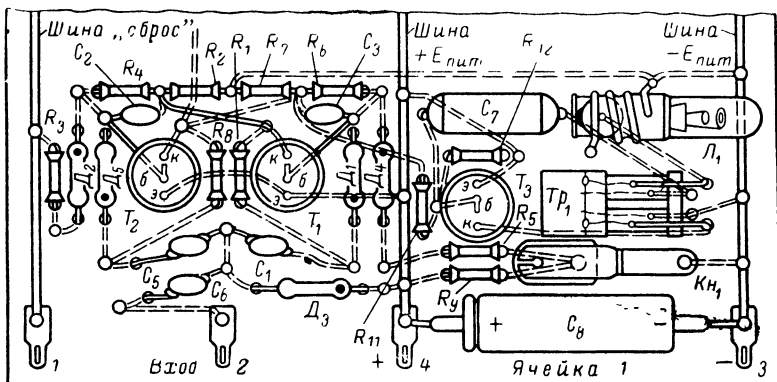


Рис. 10. Монтажная схема ячейки декады.

ке декады могут устанавливаться вплотную друг к другу с прокладкой между ними электрокартона или тонкого гетинакса, благодаря чему соответствующие индикаторные лампы и кнопки образуют горизонтальные ряды.

Детали. В декаде применены транзисторы типа П15 с коэффициентами усиления $B=30 \div 45$, которые можно заменить сплавными транзисторами других типов, диоды типа Д9Г, резисторы типа УЛМ, конденсаторы типов КДМ, КПС, МБМ и ЭМ. Трансформаторы намотаны на полистироловых каркасах, заключенных в броневые сердечники ОБ-10 марки Ф-600. Их обмотки содержат: I—50 витков провода ПЭВ 0,12; II—25 витков ПЭВ 0,12; III—наматывается проводом ПЭВ 0,05 до заполнения каркаса, после чего обмотки пропитываются полистирольным клеем. Затем ферритовые чашки склеиваются клеем БФ-2, и в катушку вводится сердечник марки Ф-600 диаметром 2,5 мм, длиной 14 мм, благодаря которому возрастает связь между обмотками и уменьшается рассеяние магнитного потока. В качестве индикаторов используются неоновые лампы типа ТН-0,2. Кнопки изготовлены из контактных пружин реле и прикреплены к плате пустотелыми пистонами.

Налаживание декады производится с помощью авометра, генератора прямоугольных импульсов и осциллографа, имеющего калибраторы длительности и амплитуды, например, С1-2 (25И) или С1-5А (СИ-1). Подав на схему напряжение питания и устанавливая ячейки в состояния 0 и 1 кнопками K_{H1} — K_{H5} , измеряют относительно

Таблица 2

Напряжение питания, в	Состояние ячейки	Электроды	Напряжения на электродах транзисторов			Ток ячейки, ма
			T_1 , в	T_2 , в	T_3 , в	
2,0	0	База	-0,05	-0,2	0	2,0
	1	Коллектор	-1,7	-0,05	-2,0	4,0
		База	-0,2	-0,05	+0,25	
		Коллектор	-0,05	-1,7	-2,0	
2,5	0	База	-0,05	-0,25	0	2,5
	1	Коллектор	-2,1	-0,1	-2,5	5,0
		База	-0,25	-0,05	+0,27	
		Коллектор	-0,1	-2,1	-2,5	
3,0	0	База	-0,05	-0,25	0	3,0
	1	Коллектор	-2,5	-0,1	-3,0	5,5
		База	-0,25	-0,05	+0,3	
		Коллектор	-0,1	-2,5	-3,0	

Примечание. Режимы при промежуточных значениях напряжения питания могут быть определены интерполяцией.

шины $+E_{пит}$ режимы транзисторов, рекомендуемые значения которых приведены в табл. 2. Для установки режима транзисторов T_1 , T_2 в случае разброса их коэффициентов усиления более чем на 10% может потребоваться подбор сопротивлений резисторов R_4 и R_5 . Если после сброса ячейки на нуль наблюдается мерцание ее индикатора, то причиной этого является чрезмерно большой начальный ток коллектора транзистора T_3 , для уменьшения которого следует уменьшить сопротивление R_{12} до 1 ком. Если мерцание не прекратится, необходимо заменить транзистор T_3 .

Когда достигнуты надежные изменения состояний ячеек и их индикации при нажатии соответствующих кнопок, подают на вход декады импульсы с частотой повторения 1 гц, а затем 10—100 гц от генератора импульсов и наблюдают за их пересчетом по показаниям индикаторов. После этого, постепенно увеличивая частоту повторения входных импульсов, определяют, не нарушается ли пересчет на 16 или на 10, для чего необходимо измерять период повторения выходных импульсов при помощи осциллографа, подключенного к выходу декады.

На частотах порядка 2—5 кГц может появиться «насчет» импульсов из-за влияния колебаний блокинг-генератора на цепи триггеров. Для проверки следует с помощью осциллографа измерить амплитуду наводок на вход декады и шину $-E_{пит}$, которые не должны превышать 0,02 и 0,2 в соответственно. В противном случае нужно увеличить емкость конденсатора C_8 . «Просчет» импульсов на частотах 2—5 кГц устраняется подбором емкостей C_2 и C_3 .

При необходимости существенного увеличения максимальной скорости счета рекомендуется применение в качестве T_1 и T_2 первых ячеек транзисторов типа П16, обладающих малым временем переключения.

Эксплуатация. Декады должны эксплуатироваться при температуре, не превышающей 40°C , и не подвергаться в процессе счета действию сильных электрических и магнитных переменных полей. Если избежать наводок на декады невозможно, то потребуются их экранировка, необходимая также в случае совместной работы декад с близкорасположенными высокочувствительными усилителями или приемниками, для которых излучение блокинг-генераторов может быть источником помех.

7. СЧЕТЧИК ИМПУЛЬСОВ НА ТРАНЗИСТОРАХ С ДОПОЛНИТЕЛЬНОЙ СИММЕТРИЕЙ

Технические данные

Коэффициент пересчета 16.

Максимальная скорость счета 15 000 *имп/сек*.

Запуск отрицательными импульсами с амплитудой 2—4 в и длительностью 3—7 *мксек*.

Сброс показаний нажатием кнопки или отрицательным импульсом.

Допустимая температура окружающей среды от -40 до $+60^{\circ}\text{C}$.

Питание от батареи с напряжением 4,5 в.

Средняя потребляемая мощность 8 *мвт*.

Размеры $155 \times 70 \times 18$ *мм*.

Вес 75 г.

Схема счетчика содержит четыре одинаковых счетных ячейки, две из которых показаны на рис. 11, а остальные идентичны им. В счетчике используются несимметричные насыщенные триггеры на

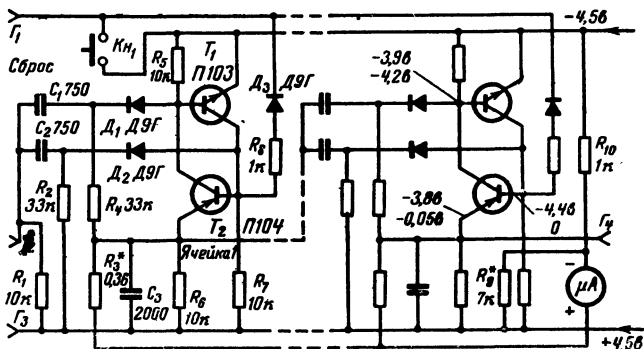


Рис. 11. Счетчик на транзисторах с дополнительной симметрией.

транзисторах с дополнительной симметрией (П103 — типа *n-p-n* и П104 — типа *p-n-p*), отличающиеся тем, что в состоянии 0 оба транзистора проводят, а в состоянии 1 оба заперты. Диоды D_1 , D_2 обеспечивают чувствительность триггера только к отрицательным импульсам.

Перед началом счета все ячейки устанавливаются в состояние 0 нажатием кнопки $КН_1$ или подачей отрицательного импульса на гнездо $Г_1$. При этом отрицательное напряжение, пройдя через це-

почку D_3R_8 , отпирает транзистор T_2 , в результате чего отпирается также связанный с ним транзистор T_1 и ток транзисторов, проходя по нагрузочному резистору R_6 , создает на нем падение напряжения, близкое к напряжению источника питания. Аналогично происходит сброс на нуль остальных ячеек.

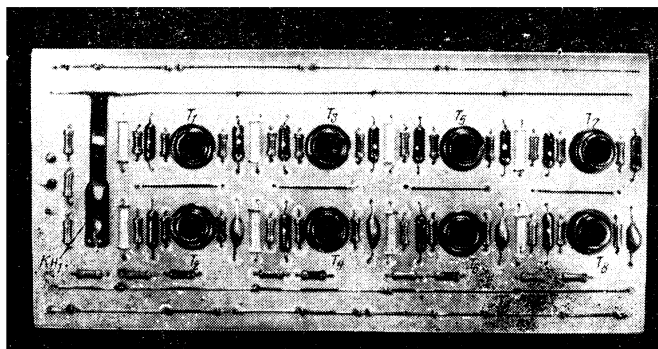


Рис. 12. Монтаж счетчика.

К нагрузке триггера через резистор R_3 (и к нагрузкам остальных триггеров — через соответствующие резисторы) присоединен один из зажимов микроамперметра, другой зажим которого соединяется с делителем напряжения R_9R_{10} , подобранным таким образом, что при состоянии 0 во всех ячейках ток микроамперметра равен нулю.

Поступающий на вход Γ_2 счетчика отрицательный импульс запирает T_1 , вслед за чем запирается и T_2 и триггер переходит в состояние 1. При этом потенциал эмиттера T_2 приближается к нулю, и через цепочку R_3R_6 начинает проходить ток, вызывающий отклонение стрелки микроамперметра. Возникающий на эмиттере T_2 положительный импульс не изменяет состояния 0 второй ячейки благодаря заградительному действию диодов на ее входе. Второй отрицательный входной импульс отпирает T_2 , а затем и T_1 , и первая ячейка возвращается в состояние 0, а отрицательный импульс на эмиттере T_2 переводит вторую ячейку в состояние 1. Аналогично происходит счет следующих импульсов, причем в состоянии 1 через резисторы R_3R_6 и соответствующие пары резисторов других ячеек протекают токи, обратно пропорциональные сопротивлениям этих пар. Величины резистора R_3 — 360 ком и соответствующих резисторов остальных ячеек (175, 82 и 36 ком) выбраны таким образом, что проходящие через них и регистрируемые микроамперметром токи относятся как 1:2:4:8, что равно отношению значений двоичных разрядов. Таким образом, в данной схеме индикация состояний и суммирование их с учетом значений разрядов осуществляется микроамперметром.

Детали. Транзистор T_1 типа П104 может быть заменен на П105 или П106, а транзистор T_2 типа П103 — на П101 или П102 с коэффи-

циентами усиления $B=10 \div 20$. Конденсаторы типов КТМ и КПС, резисторы — УЛМ или TESLA, причем резисторы, отмеченные на рис. 11 звездочкой, составлены из двух, соединяемых последовательно, что облегчает их подбор при налаживании. Микроамперметр на 150 $\mu\text{ка}$.

Конструкция и монтаж. Все детали смонтированы на плате из оргстекла размерами $155 \times 70 \times 2$ мм (рис. 12), с обратной стороны которой выполнены соединения голыми непересекающимися проволочками.

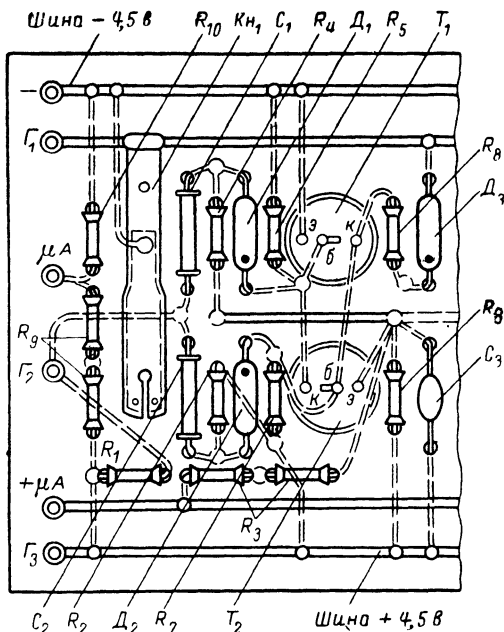


Рис. 13. Монтажная схема ячейки счетчика.

никами. Монтажная схема ячейки 1 показана на рис. 13, остальные ячейки выполнены аналогично. Возможно применение печатного монтажа.

Налаживание начинают при отсоединенном микроамперметре с подбора напряжений на электродах транзисторов, величина которых относительно положительного полюса источника питания указана на рис. 11: верхнее число — для состояния 0, нижнее — для состояния 1. Затем подключают микроамперметр, сбрасывают ячейки на нуль и подбором резистора R_9 добиваются установки стрелки микроамперметра на нуль. Подав на вход один импульс, подбирают резистор R_3 так, чтобы стрелка прибора отклонялась на 10 $\mu\text{ка}$. Подав еще один импульс, подбирают соответствующий резистор во второй ячейке до отклонения стрелки на 20 $\mu\text{ка}$. После 4-го импульса подбирают резистор третьей ячейки до отклонения стрелки на 40 $\mu\text{ка}$ и после 8-го — четвертой — до 80 $\mu\text{ка}$. В заключение следует удостовериться в том, что в состоянии 1 всех ячеек (после 15-го импульса)

ток микроамперметра равен 150 мкА , и, следовательно, каждый входной импульс вызывает увеличение тока на 10 мкА , что значительно упрощает отсчет показаний по шкале прибора. При необходимости в схеме может быть применен менее чувствительный прибор, если уменьшить величины резисторов R_3 , R_6 и соответствующих резисторов остальных ячеек, что, однако, связано с проигрышем в экономичности.

Емкость счетчика и коэффициент пересчета можно увеличить, добавляя к схеме аналогичные ячейки, что потребует применения еще одного или нескольких микроамперметров, так как один микроамперметр из-за температурной и временной нестабильности элементов схемы может обеспечить безошибочную индикацию состояний не более чем четырех ячеек.

Глава третья

СЧЕТЧИКИ ИМПУЛЬСОВ НА ПРИБОРАХ ТЛЕЮЩЕГО РАЗРЯДА

8. ТИРАТРОННЫЙ ФОРМИРОВАТЕЛЬ ИМПУЛЬСОВ С ЭЛЕКТРОМЕХАНИЧЕСКИМ СЧЕТЧИКОМ

Схема. Формирователь (рис. 14) предназначен для управления электромеханическим счетчиком ЭМС. В исходном состоянии благодаря протеканию через резистор R_1 тока 5 мкА на участке катод — управляющий электрод тиратрона L_1 типа МТХ90 существует подготовительный разряд. При этом конденсатор C_2 заряжен до напряжения, определяемого делителем R_2R_3 и практически выбираемого на $10\text{—}15 \text{ В}$ меньше напряжения зажигания тиратрона. Под воздействием положительного пускового импульса, поступающего через конденсатор C_1 на управляющий электрод, разряд между ним и катодом кратковременно усиливается, и возникает ионизация участка катод — анод, который становится проводящим. Конденсатор C_2 быстро разряжается через обмотку ЭМС и малое сопротивление участка катод — анод, после чего разряд прекращается. Импульс тока, прошедший через обмотку ЭМС, вызывает его срабатывание. Для максимального быстродействия схемы необходимо правильно выбрать соотношение между числом витков обмотки, ее сопротивлением и емкостью конденсатора C_2 .

Детали. В схеме формирователя применен счетчик телефонного типа, обмотка которого перемотана проводом ПЭВ $0,1 \text{ мм}$ до заполнения каркаса и имеет сопротивление постоянному току 650 Ом . Желательно выбирать тиратрон с наибольшим напряжением зажигания участка катод — анод.

Налаживание. Быстродействие формирователя достигает нескольких импульсов в секунду. Некоторого увеличения скорости срабатывания ЭМС можно добиться, подобрав опытным путем оптимальное натяжение его возвратной пружины. Если этого недостаточно, следует применить быстродействующий счетчик типа СБ-1м/50.

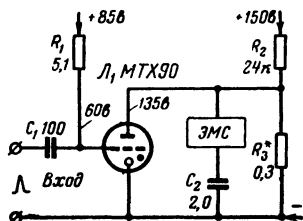


Рис. 14. Тиратронный формирователь импульсов.

9. ТИРАТРОННЫЙ СЧЕТЧИК ИМПУЛЬСОВ

Технические данные

Емкость счетчика 1 024 импульса.

Максимальная скорость счета 500 имп/сек.

Запуск положительными импульсами с амплитудой ≥ 20 в и длительностью ≥ 10 мксек.

Сброс на нуль нажатием кнопки.

Контроль с помощью внутреннего генератора импульсов.

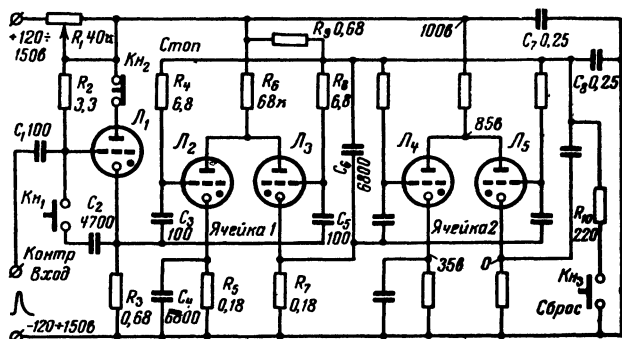


Рис. 15. Тиратронный счетчик импульсов.

Питание от источника постоянного тока с напряжением 120—150 в.

Потребляемая мощность не более 0,3 вт.

Размеры 165×100×20 мм.

Вес 190 г.

Схема. Счетчик состоит из формирователя импульсов на тиратроне L_1 и десяти двоичных пересчетных ячеек на тиратронах типа МТХ90, из которых две первые ячейки изображены на рис. 15, а остальные ячейки аналогичны. После включения питания на управляющие электроды всех тиратронов через высокоомные резисторы R_2, R_4, R_8 и др. поступает напряжение с развязывающего фильтра $R_9 C_8$, и на участках катод — управляющий электрод тиратронов возникает подготовительный разряд. На аноды тиратронов счетных ячеек напряжение подается через общий для обоих тиратронов ячейки резистор (например, R_6 в ячейке 1), благодаря чему загорается лишь один из тиратронов.

До начала счета ячейки должны быть установлены в состояние 0, которому соответствует зажигание правых тиратронов каждой ячейки. Для этого кратковременным нажатием кнопки сброса $KН_3$ замыкают конденсатор C_8 на резистор R_{10} , причем прекращается подготовительный разряд тиратронов (кроме L_1), а ранее заряженная положительно верхняя обкладка C_3 (и верхние обкладки соответствующих конденсаторов других ячеек) соединяется с минусовой шиной, вследствие чего потенциал катода L_3 становится отрицательным по отношению к минусовой шине. Напряжение анод — катод тиратрона L_3 оказывается большим, чем L_2 , и поэтому после отпускания кнопки $KН_3$ загорается тиратрон L_3 , а L_2 остается по-

гашенным, что и соответствует состоянию 0 ячейки 1. Аналогичные процессы происходят при установке на нуль остальных ячеек.

Приходящие на вход счетчика положительные импульсы формируются каскадом на тиратроне Λ_1 и с его катода поступают на точку соединения конденсаторов C_2, C_3 , являющуюся счетным входом ячейки 1. Первый импульс зажигает ранее погашенный тиратрон Λ_2 , а Λ_3 гаснет, причем возникающий на его катоде отрицательный импульс не изменяет состояния ячейки 2, реагирующей только на положительные импульсы. Второй импульс возвращает ячейку 1 в исходное состояние 0, и положительный импульс с катода Λ_3 переводит ячейку 2 в состояние 1. Третий импульс вновь зажигает тиратрон Λ_2 (ячейка 1 в состоянии 1), а состояние 1 ячейки 2 сохраняется. Таким образом происходит дальнейший счет импульсов

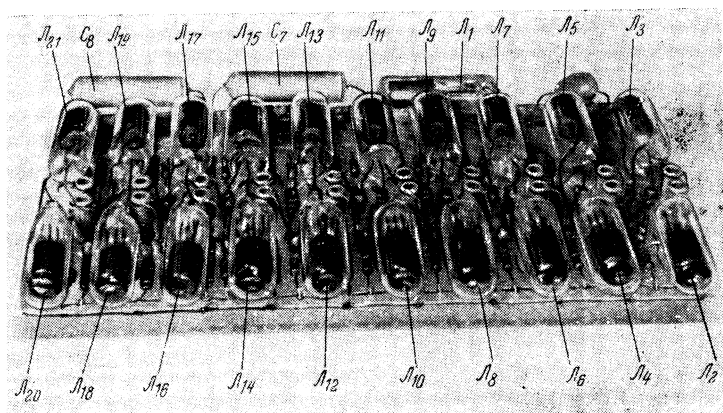


Рис. 16. Монтаж тиратронного счетчика.

в двоичной системе счисления вплоть до прихода 1023-го импульса, устанавливающего все ячейки в состояние 1, причем горят левые тиратроны всех ячеек: $\Lambda_2, \Lambda_4, \dots, \Lambda_{20}$. Очередной 1024-й импульс сбрасывает все ячейки на нуль.

Для остановки счета служит нормально замкнутая кнопка K_{H2} , нажатием которой отключается питание тиратрона Λ_1 .

Контроль работоспособности счетчика производится при нажатии кнопки K_{H1} , переводящей каскад с тиратроном Λ_1 в режим генерирования релаксационных колебаний с частотой, определяемой постоянной времени зарядной цепи R_2C_2 .

В зависимости от назначения счетчика число ячеек может быть увеличено или уменьшено, причем для увеличения емкости счетчика к выходу его последней ячейки (к катоду ее правого тиратрона) можно присоединить формирователь с электромеханическим счетчиком по схеме рис. 14.

Монтаж счетчика (рис. 16) выполнен на плате из оргстекла размерами $165 \times 100 \times 2$ мм, с одной стороны которой расположены детали и тиратроны, установленные параллельно плате, а с другой —

соединения, сделанные жесткими непересекающимися проводниками. На рис. 17 изображена часть монтажной схемы (ячейки 1 и 2), причем тиратроны Λ_2 , Λ_3 условно удалены, чтобы показать расположение деталей ячейки 1. Прочие ячейки смонтированы аналогично. Резистор R_1 располагается вне монтажной платы.

Детали. Высокоомные резисторы 3,3 и 6,8 *Мом* типа КОМ (можно заменить на МЛТ-0,5 с номиналами 3,3 и 5,1 *Мом*), остальные резисторы типа УЛМ или TESLA. Конденсаторы типов КТК,

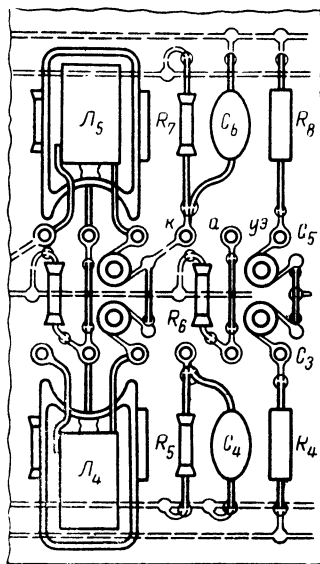


Рис. 17. Монтажная схема тиратронного счетчика.

КДС, КПС и МБМ. Кнопки изготовлены из контактных пружин от реле. Не бывшие в употреблении тиратроны перед установкой в схему необходимо тренировать током 1—2 *ма*. Для этого соединяют аноды и управляющие электроды всех тиратронов с положительным полюсом какого-либо выпрямителя на 200—250 *в*, а катоды через резисторы по 0,1 *Мом* — с отрицательным. После нескольких десятков часов тренировки тиратроны в дальнейшем работают достаточно стабильно.

Налаживание заключается в парном подборе тиратронов каждой ячейки, так чтобы ее работоспособность, контролируемая с помощью внутреннего генератора, сохранялась в возможно большем диапазоне изменения резистором R_1 напряжения на конденсаторе C_7 (по крайней мере от 100 до 110 *в*). Затем устанавливается среднее значение этого напряжения. После тренировки тиратронов может оказаться, что некоторые из них имеют более высокое напряжение зажигания, чем остальные, и поэтому неустойчиво работают в паре с другими тиратронами. Та-

кие экземпляры при невозможности их замены следует использовать в последних ячейках счетчика, где скорость переключения триггеров минимальна.

Примерные значения напряжений на электродах тиратронов относительно минусовой шины показаны на рис. 15, причем напряжение на катоде 35 *в* соответствует горящему тиратрону, а 0 — погашенному.

Эксплуатация счетчика должна производиться при таком напряжении на конденсаторе C_7 , которое было определено как оптимальное во время наладки. Обычно это возможно без измерения напряжения вольтметром, если резистор R_1 снабжен шкалой с делениями. Перед началом измерений определяют крайние положения ручки резистора R_1 , при которых еще не происходит нарушений работы счетчика, и производят измерения при среднем положении ручки R_1 .

Во время работы счетчика тиратроны не должны освещаться прямым ярким светом, так как под его действием возможно измене-

ние параметров тиратронов и нарушение нормальной работы счетчика.

Тиратроны МТХ90 чувствительны к наводкам, поэтому в случае расположения счетчика в зоне действия сильных переменных электрических полей его необходимо экранировать и подавать входной сигнал посредством коаксиального кабеля, оплетка которого должна заземляться.

10. СЧЕТЧИК ИМПУЛЬСОВ НА ДЕКАТРОНАХ И ТИРАТРОНАХ

Технические данные

Емкость счетчика 10^7 импульсов.

Максимальная скорость счета $5 \cdot 10^3$ имп/сек.

Запуск отрицательными импульсами с амплитудой ≥ 50 в и длительностью ≥ 20 мксек.

Сброс показаний на нуль нажатием кнопки.

Питание от источника с напряжениями +85, +150 и +450 в.

Потребляемая мощность не более 1 вт.

Размеры $190 \times 110 \times 100$ мм.

Вес 550 г.

Схема. Счетчик состоит из декатронной схемы, считающей единицы, десятки и сотни импульсов, и электромеханического счетчика, регистрирующего тысячи, десятки тысяч, сотни тысяч и миллионы импульсов. Существенным преимуществом счетчика является индикация показаний непосредственно в десятичной системе счисления.

Применяемый в первой ячейке счетчика (рис. 18) одноимпульсный декатрон L_1 типа ОГЗ имеет дисковый анод a , вокруг которого по окружности располагаются 40 проволочных стержней — катодов, разделенных на четыре группы. Первая группа состоит из 10 первых подкатодов, имеющих общий вывод на цоколь лампы ($1пк$ на рис. 18). Вторую группу образуют 10 вторых подкатодов ($2пк$). В третью группу входят 10 третьих подкатодов, из которых 1, 2, ..., 9 соединены вместе ($3пк$), а один — нулевой подкатод ($3пк_0$) выведен отдельно. Наконец, четвертая группа содержит 10 основных катодов, вокруг которых во время работы декатрона возникает свечение наполняющего его газа. 1, 2, ..., 9 катоды этой группы соединяются вместе ($1-9к$), а один — нулевой катод ($к_0$) — имеет отдельный вывод. Катоды чередуются в определенной последовательности: $1пк$, $2пк$, $3пк_0$ $к_0$; $1пк$, $2пк$, $3пк$, $1к$; ... $1пк$, $2пк$, $3пк$, $9к$.

Катоды $3пк$, $3пк_0$, $1-9к$ и $к_0$ через резисторы R_6 , R_7 , R_8 соединяются с отрицательным полюсом источника питания, а $1пк$ и $2пк$ питаются от делителя напряжения R_1R_4 . Поэтому при включении питания потенциалы $1пк$ и $2пк$ оказываются выше потенциалов остальных катодов на величину 25 в, и тлеющий разряд возникает между анодом и одним из основных катодов.

Перед началом счета необходимо сбросить показания декатрона на нуль, т. е. установить разряд на нулевой катод $к_0$. Для этого кратковременным нажатием нормально замкнутой кнопки $Кн_1$ отключают резистор R_4 от отрицательного полюса источника питания, в результате чего напряжения на $1пк$, $2пк$, $3пк$ и $1-9к$ приближаются к +85 в, а напряжения на $3пк_0$ и $к_0$ остаются близкими к нулю, что приводит к перебросу разряда на $к_0$. После отпускания кнопки положение разряда сохраняется, так как напряжение горения на промежутке $a-к_0$ значительно меньше напряжения зажигания других промежутков. Благодаря диффузии ионов из окружаю-

щей катод K_0 области разряда соседний подкатод $1nk$ оказывается подготовленным к зажиганию.

Подлежащие счету импульсы отрицательной полярности через конденсаторы C_1 и цепь C_2R_3 поступают на подкатоды $1nk$ и $2nk$, отчего напряжение, приложенное к промежутку $a-1nk$, увеличивается, и подготовленный подкатод $1nk$ зажигается. Вследствие возрастания анодного тока декатрона потенциал его анода уменьшается настолько, что разряд в промежутке $a-K_0$ прекращается, однако

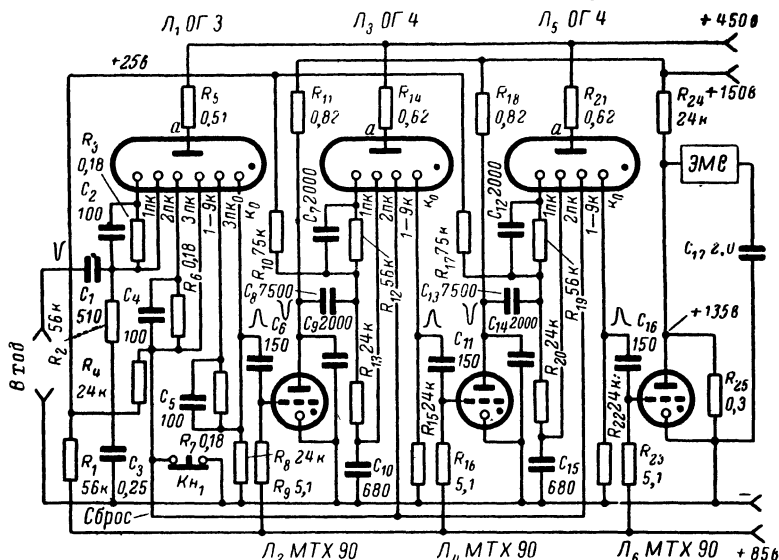


Рис. 18. Счетчик импульсов на декадронах и тиратронах.

по мере заряда конденсатора C_2 током подкатода $1nk$ анодный ток уменьшается и потенциал анода восстанавливается. Импульс запуска, продолжающий действовать на вторые подкатоды $2nk$, зажигает тот из них, который подготовлен к зажиганию в результате диффузии ионов из области ранее зажженного $1nk$. При зажигании $2nk$ потенциал анода вновь уменьшается и подкатод $1nk$ гаснет.

По окончании действия запускающего импульса $2nk$ гаснет и разряд с него переходит на $3nk$, а затем на $1k$. На этом цикл передачи разряда завершается, и состояние декатрона (свечение $1k$) сохраняется до прихода следующих импульсов, которые переводят разряд на $2k$, $3k$, ... Десятый импульс переводит разряд на нулевой катод K_0 , нагруженный резистором R_8 , с которого при зажигании K_0 через конденсатор C_3 снимается положительный импульс, служащий для запуска следующей ячейки.

На входе второй ячейки имеется формирователь-инвертор на тиратроне $Л_2$ типа МТХ90, который изменяет полярность импульса на отрицательную и повышает его амплитуду до уровня, необходимого для запуска двухимпульсного декатрона $Л_3$ типа ОГ4, считающего десятки импульсов. Двухимпульсный декатрон содержит лишь

три группы катодов: 10 первых подкатодов $1нк$, 10 вторых подкатодов $2нк$ и 10 основных катодов, из которых 1, 2, ..., 9 соединены вместе ($1-9к$), а нулевой катод ($к_0$) выведен на отдельный штырек цоколя. Процесс переноса разряда в двухимпульсном декатроне несколько отличается от рассмотренного выше. Отрицательный импульс, снимаемый с анода $Л_2$ через конденсатор C_8 , с помощью цепей $R_{12}C_7$ и $R_{13}C_{10}$ расщепляется на два отрицательных импульса, которые со сдвигом во времени подаются на $1нк$ и $2нк$ декатрона $Л_3$, чем и обеспечивается необходимая очередность зажигания подкатодов.

Устройство и схема включения двухимпульсного декатрона проще, чем одноимпульсного, однако максимальная скорость счега меньше. Поэтому в первой ячейке применяется одноимпульсный декатрон, а в последующих — двухимпульсные.

С нулевого катода $Л_3$ импульсы поступают на третью ячейку, собранную на лампах $Л_4$, $Л_5$, аналогично второй.

С выхода третьей ячейки положительные импульсы подаются на вход формирователя (описанного в § 8 этой главы), который управляет четырехразрядным электромеханическим счетчиком ЭМС.

Детали. В счетчике применены резисторы типа ВС-0,25, которые можно заменить на МЛТ-0,5, конденсаторы — типов КДМ, КПС, КТК, МБМ и МБГО. Обмотка ЭМС перемотана проводом ПЭВ 0,1 мм и имеет сопротивление постоянному току 650 ом. Тиратроны МТХ90 перед установкой в схему необходимо тренировать током 1—2 ма, как описано в § 9 этой главы. После тренировки напряжение зажигания участка катод — анод тиратронов должно быть не менее 150 в.

Монтаж счетчика выполнен на гетинаксовой плате размерами $195 \times 116 \times 2$ мм. С одной стороны платы установлены декатроны, тиратроны, мелкие детали и шины питания и сброса, расположение которых показано на рис. 19, а с другой стороны — непересекающиеся соединительные проводники и разъем питания, в качестве которого используется панелька ПЛК-7. Этот же разъем служит и для присоединения к схеме кнопки сброса $Кн_1$, которая располагается вне платы и может быть удалена от нее на значительное расстояние. Конденсатор C_1 также размещается за пределами платы. Панельки декатронов должны быть ориентированы так, как показано на рис. 19. Электромеханический счетчик утоплен в прямоугольное отверстие в плате так, что его окно находится на таком же удалении от нее, как и куполы баллонов декатронов (рис. 20). При установке счетчика в корпусе в нем должны быть сделаны прямоугольное отверстие для ЭМС и три отверстия диаметром 35 мм для куполов декатронов, вокруг которых катодов следует нанести по окружности цифры 0, 1, ..., 9, служащие для отсчета показаний счетчика.

Налаживание лучше производить с помощью генератора импульсов, а при отсутствии его — с тем источником импульсов, для работы с которым предназначен счетчик. В описываемом счетнике с целью уменьшения требуемой амплитуды запускающих импульсов установлено напряжение смещения подкатодов +25 в, несколько меньшее рекомендуемого справочными таблицами. Опыт показал, что в данном режиме при длительностях запускающих импульсов не менее 20 мксек достаточна амплитуда 50 в. В случае необходимости она может быть еще несколько уменьшена, для чего следует подобрать величину резистора R_1 .

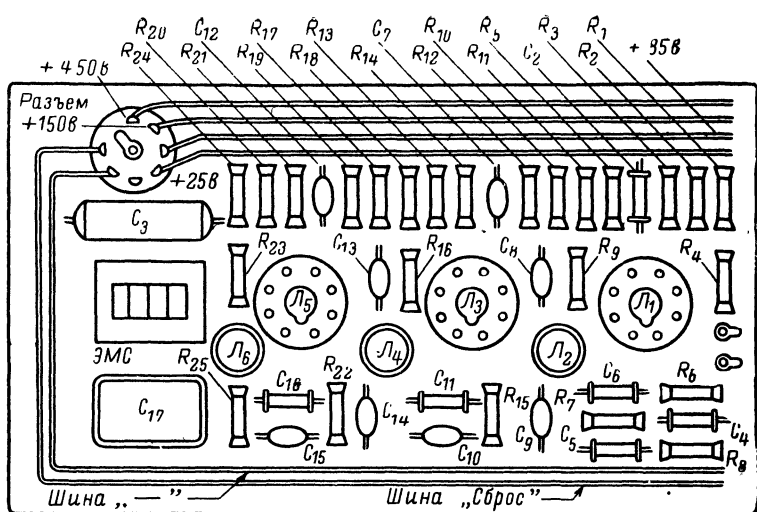


Рис. 19. Расположение деталей декадронного счетчика.

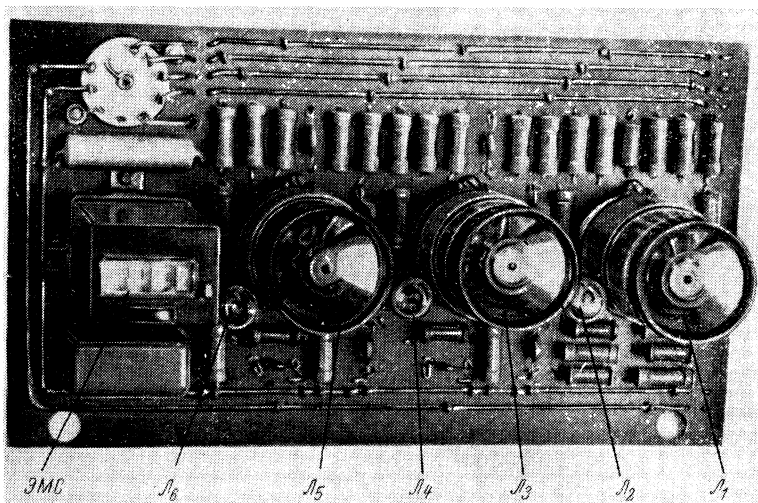


Рис. 20. Монтаж декадронного счетчика.

Добившись устойчивой работы первой ячейки, переходят к налаживанию формирователя-инвертора на тиратроне J_2 . Определив опытным путем минимальную емкость C_6 , при которой в момент прихода разряда на нулевой катод декатрона J_1 происходит вспышка тиратрона J_2 , увеличивают ее на 30—50% и устанавливают J_2 происходит перенос разряда в декатроне J_3 . В некоторых случаях для обеспечения переноса может потребоваться подбор емкостей C_7 и C_{10} в пределах 680—2 000 пф. Аналогично производится налаживание третьей ячейки (лампы J_4 и J_5).

Формирователь и ЭМС не требуют особой регулировки, за исключением возвратной пружины ЭМС, оптимальное натяжение которой зависит от его рабочего положения — вертикального или горизонтального, определяемого конструктивным оформлением прибора.

11. ПИТАНИЕ СЧЕТЧИКОВ НА ПРИБОРАХ ТЛЕЮЩЕГО РАЗРЯДА

Описанные в настоящей главе формирователь и счетчики рассчитаны на питание от батарей. Необходимые питающие напряжения могут быть получены путем последовательного соединения батарей различных типов, из которых практически были испытаны угольно-цинковые батареи 75-АМГЦ-22ч, 87-ПМГЦ-0,15, 100-АМГЦ-у-2,0 и 330-ЭВМГЦ-1000. Для надежной работы приборов необходимо пользоваться свежими батареями, так как напряжение частично разряженных батарей может заметно уменьшаться под нагрузкой в процессе счета, что приведет к ошибкам в измерении числа импульсов.

В ряде случаев может представить практический интерес питание счетчиков с приборами тлеющего разряда от низковольтных источников тока через транзисторный преобразователь напряжения. При этом желательно стабилизировать выходное напряжение и принимать меры против наводок от преобразователя на счетчик.

В стационарных условиях питание счетчиков может с успехом осуществляться от электрической сети через выпрямитель любого типа, однако в этом случае необходима стабилизация питающих напряжений по крайней мере с помощью газоразрядных стабилизаторов. Например, тиратронный счетчик хорошо работает при питании от стабилизаторов типа СГП или СГ4С. Для питания от сети декатронного счетчика потребуются последовательное соединение стабилизаторов либо электронный стабилизатор, нагруженный на делитель, с которого можно снять требуемые напряжения.

Глава четвертая

ПРИБОРЫ ДЛЯ НАЛАЖИВАНИЯ СЧЕТЧИКОВ

12. ТРАНЗИСТОРНЫЙ ГЕНЕРАТОР ИМПУЛЬСОВ

Технические данные

1. Генератор вырабатывает остроконечные импульсы малой длительности с регулируемым периодом повторения и прямоугольные импульсы с регулируемым периодом повторения, длительностью и амплитудой.

2. Генератор работает в следующих режимах:
 - а) режим самовозбуждения;
 - б) режим самовозбуждения с синхронизацией от внешнего источника;
 - в) режим формирования импульсов с запуском от внешнего источника;
 - г) режим деления частоты внешнего источника.
3. Параметры импульсов, генерируемых в режиме самовозбуждения.
 - а) форма импульсов — остроконечные и прямоугольные;
 - б) полярность — положительная и отрицательная;
 - в) период повторения — 60 фиксированных значений в шести диапазонах:
 - I — 10, 20, ..., 90, 100 мксек; II — 100, 200, ..., 900, 1 000 мксек;
 - III — 1, 2, ..., 9, 10 мсек; IV — 10, 20, ..., 90, 100 мсек; V — 100, 200, ..., 900, 1 000 мсек; VI — 1, 2, ..., 9, 10 сек;
 - г) точность установки частоты повторения: на диапазонах I — V — 5%, на диапазоне VI — 20%;
 - д) длительность остроконечных импульсов: отрицательных 3—4 мксек; положительных 4—8 мксек;
 - е) амплитуда остроконечных импульсов 4 в;
 - ж) длительность прямоугольных импульсов 100 фиксированных значений в интервале 25—25 000 мксек;
 - з) точность установки длительности прямоугольных импульсов 25%;
 - и) амплитуда прямоугольных импульсов 0,25, 0,5, 1, 2 и 4 в;
 - к) точность установки амплитуды 20%.
4. Параметры импульсов, генерируемых в режиме синхронизации:
 - а) период повторения задается внешним синхронизирующим источником;
 - б) синхронизация синусоидальными колебаниями или положительными импульсами с амплитудой $\geq 0,5$ в;
 - в) остальные параметры, как в п. 3.
5. Параметры импульсов, генерируемых в режиме формирования импульсов:
 - а) период повторения задается внешним источником импульсов;
 - б) запуск положительными импульсами с амплитудой $\geq 0,5$ в;
 - в) остальные параметры, как в п. 3.
6. Параметры импульсов, генерируемых в режиме деления частоты:
 - а) коэффициенты деления частоты внешнего источника 2, 5, 10 и 20;
 - б) напряжение внешнего источника — положительные импульсы с амплитудой $\geq 0,5$ в;
 - в) остальные параметры, как в п. 3.
7. Питание от внутренней батареи с напряжением 4,5 в.
8. Потребляемая мощность не более 45 мвт.
9. Размеры 175×110×80 мм.
10. Вес с источником питания 920 г.

Схема. Задающий генератор прибора (рис. 21) представляет собой блокинг-генератор на транзисторе T_1 , режим работы которого устанавливается переключателем P_2 . В верхнем положении P_2 генератор вырабатывает одиночные импульсы при поступлении на вход G_1 запускающего импульса, который после усиления и формирования

ния его транзистором T_3 подается на базу T_1 . Следующие четыре положения P_2 служат для деления частоты внешнего источника на 2, 5, 10 и 20 в зависимости от величин резисторов $R_{23}—R_{26}$. Нижние шесть положений P_2 соответствуют работе блокинг-генератора в режимах самовозбуждения и синхронизации. Период повторения импульсов грубо определяется емкостями конденсаторов $C_5—C_{10}$, а более точно — сопротивлениями резисторов $R_1—R_{10}$ или $R_{12}—R_{21}$, введенных в цепь базы T_1 переключателем P_1 . При этом период повторения равен произведению числа микросекунд, соответствующих положениям переключателя P_1 , на множитель, соответствующий положению переключателя P_2 . Синхронизация может осуществляться подаваемым на гнезда G_1 синусоидальным или импульсным напряжением, которое после усиления и формирования его транзистором T_3 воздействует через конденсатор C_2 на базу транзистора T_1 .

При работе блокинг-генератора на коллекторе T_1 возникают кратковременные импульсы, отрицательные выбросы которых отпирают нормально закрытый каскад с общим коллектором на транзисторе T_2 . Сформированные этим каскадом остроконечные отрицательные импульсы длительностью 3—4 мксек поступают на гнезда G_2 . Для изменения полярности этих импульсов применяется каскад с общим эмиттером на транзисторе T_4 , с коллектора которого положительные импульсы подаются на гнезда G_3 . Импульсы на гнездах G_2 и G_3 имеют крутые фронты и более пологие спады, что позволяет использовать их для запуска различных импульсных схем, в частности счетчиков импульсов.

Для формирования прямоугольных импульсов с регулируемой длительностью в приборе применяется ждущий мультивибратор на транзисторах T_5 и T_7 , запускаемый через диод D_1 отрицательным импульсом, который снимается с эмиттера T_2 и дифференцируется цепочкой $C_{18}R_{37}$. Длительность вырабатываемых ждущим мультивибратором прямоугольных импульсов зависит от емкостей конденсаторов $C_{19}—C_{28}$ и сопротивлений резисторов $R_{42}—R_{51}$, устанавливаемых соответственно переключателями P_3 и P_4 . Величины этих деталей подобраны таким образом, что длительность импульсов равна произведению числа микросекунд, указанного на рис. 21 для положений переключателя P_3 , на множитель, задаваемый переключателем P_4 . Передний фронт импульсов имеет длительность 2 мксек.

Положительный импульс с коллектора T_6 через эмиттерный повторитель на транзисторе T_7 запирает каскад с общим эмиттером на транзисторе T_8 , нагрузкой которого служит attenuator $R_{58}—R_{66}$. Каскад с общим эмиттером на транзисторе T_9 , нагруженный на attenuator $R_{67}—R_{75}$, изменяет полярность импульсов на положительную. Ослабление каждого звена attenuатора равно 2, что позволяет получить на гнездах G_4 достаточно широкий диапазон изменения амплитуд прямоугольных импульсов обеих полярностей в зависимости от положения переключателя P_5 .

Прибор питается от батареи B_1 типа КБС-Л-0,5, причем цепи транзисторов $T_1—T_3$ во избежание воздействия на них последующих каскадов развязаны с помощью фильтра $C_1R_{29}C_{13}$. Выключатель питания BK_1 механически сопряжен с переключателем P_5 .

Детали. В приборе применяется транзистор T_1 типа П15, остальные — П13 с коэффициентами усиления $B=25+35$, которые можно заменить другими сплавными транзисторами, например П16. Резисторы — типа УЛМ или TESLA. Электролитические конденсаторы типа ЭМ, ЭТО или TESLA, остальные — КДМ, МБМ и ПМ. В каче-

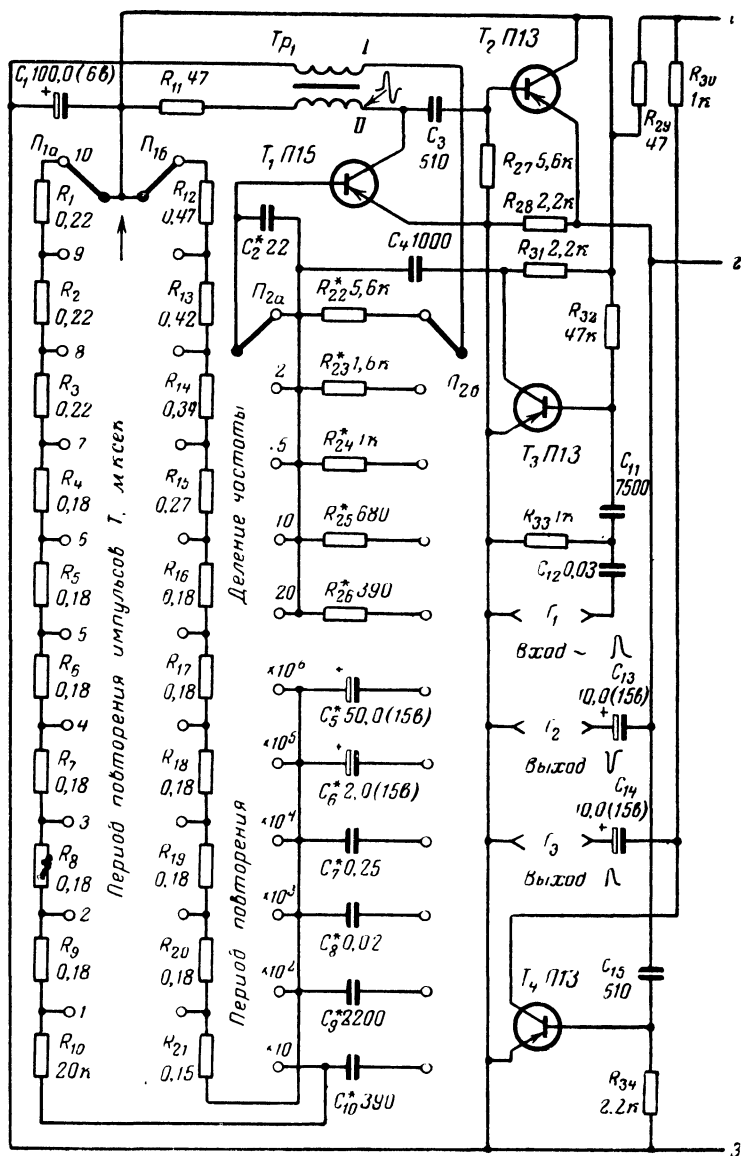
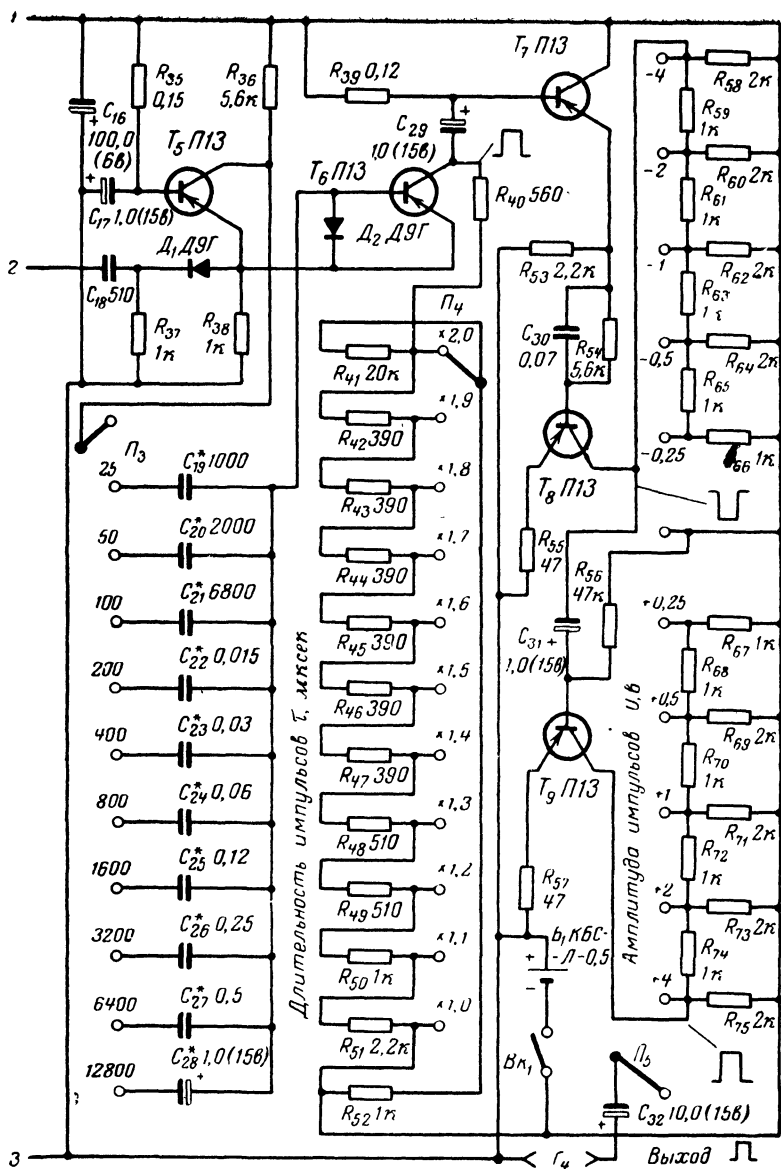


Рис. 21. Транзисторный



генератор импульсов.

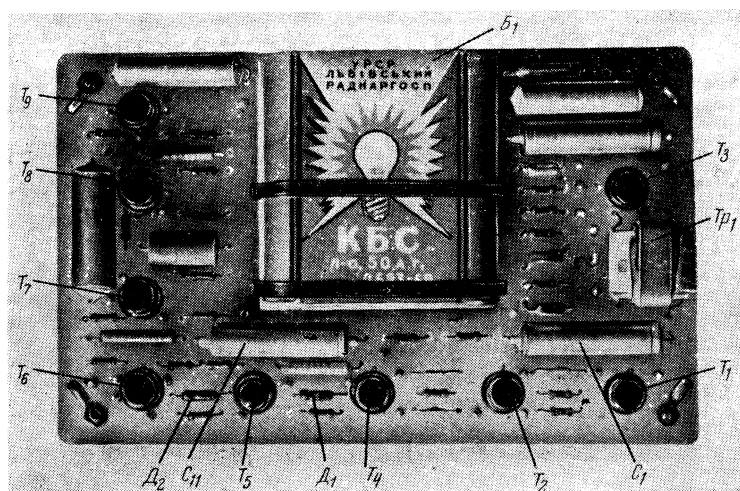


Рис. 22. Монтаж транзисторного генератора.

стве Tr_1 использован строчный блокинг-трансформатор от телевизора «Рекорд»; сердечник — 6 пластин ленты $50 \times 10 \times 0,1$ мм из стали Э-44; обмотки — по 150 витков провода ПЭЛ 0,2 мм. Возможно самостоятельное изготовление Tr_1 на сердечнике сечением $0,5-1$ см², обмотки по 100—150 витков ПЭЛ 0,2 мм. Переключатели $П_1-П_5$ переделаны из переключателей на пять положений.

Монтаж (рис. 22) выполнен на двух платах, одна из которых изготовлена из оргстекла (пригоден также гетинакс) размерами $165 \times 105 \times 3$ мм и несет на себе все транзисторы, диоды, батарею и часть мелких деталей, соединенные с обратной стороны платы непересекающимися проводниками. На второй плате из гетинакса размерами $175 \times 110 \times 3$ мм, служащей одновременно передней панелью прибора, укреплены гнезда $Г_1-Г_4$ и переключатели $П_1-П_5$ с распаянными на них деталями R_1-R_{10} , $R_{12}-R_{21}$, C_2 , $R_{22}-R_{25}$, C_5-C_{10} , $C_{19}-C_{28}$, $R_{41}-R_{52}$, $R_{58}-R_{75}$. Шпильки, стягивающие переключатели, одновременно служат для скрепления обеих плат, а также для электрического соединения металлических деталей переключателей с положительным полюсом батарей (проводник 3 на рис. 21).

К передней панели (рис. 23) прикреплен наличник из оргстекла, прикрывающий шкалы и надписи, которые выполнены белой краской (гуашью) на черной бумаге. Прибор заключен в пластмассовый корпус, защищающий его от повреждений.

Наладживание прибора удобно производить, временно соединив монтажную плату с переключателями длинными проводниками, что позволяет свободно заменять детали, распаянные на переключателях. Напряжения на электродах транзисторов, измеренные относительно положительного полюса батарей вольтметром с входным сопротивлением 50 ком/в (см. § 13 этой главы), приведены в табл. 3.

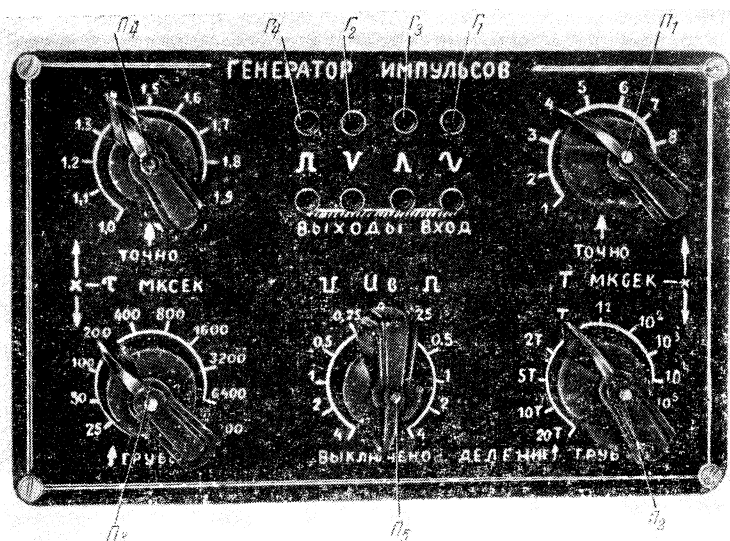


Рис. 23. Внешний вид транзисторного генератора.

Для измерения параметров импульсов в цепях прибора необходим импульсный осциллограф с калибраторами длительности и амплитуды, например С1-2 (25-И) или С1-5А (СИ-1).

Установив переключатель Π_1 в верхнее, а Π_2 — в нижнее (по схеме) положения, присоединяют вход осциллографа к гнездам Γ_2 и, подбирая величину конденсатора C_{10} , устанавливают период повторения импульсов равным 100 мксек. Затем, переведя Π_1 в нижнее положение, подбирают резистор R_{10} так, чтобы период повторения равнялся 10 мксек. Аналогично путем подбора C_5 — C_9 устанавливают периоды повторения на других диапазонах. Следует иметь в виду, что для получения больших периодов повторения требуются

Таблица 3

Электроды	Напряжение на электродах транзисторов относительно положительного полюса батареи, в								
	T_1	T_2	T_3	T_4	T_5	T_6	T_7	T_8	T_9
Эмиттер	0	-0,15	0	0	-0,7	-0,7	-1,0	-0,2	-0,07
База	+0,6	+0,02	-0,2	0	-0,8	-0,7	-0,6	-0,3	+1,8
Коллектор	-4,2	-4,3	-0,1	-4,0	-1,3	-3,3	-4,5	-1,0	-3,3

Примечания: 1. Напряжения измерены в режиме самовозбуждения при генерации импульсов длительностью 25 мксек с периодом повторения 100 мксек.

2. Напряжение на базе T_1 может изменяться от +0,2 в до +0,6 в в зависимости от периода повторения импульсов.

3. Напряжение на базе T_6 может изменяться от -0,3 в при скажностях импульсов ≥ 20 до +1,8 в при скажности, равной 3,

значительные емкости конденсаторов C_5 и C_6 , что в свою очередь сопряжено с увеличением их токов утечки, уменьшающих период повторения. Поэтому емкости электролитических конденсаторов C_5 и C_6 , указанные на рис. 21, превышают расчетные. Желательно применять в качестве C_5 , C_6 конденсаторы типа ЭТО. Кроме того, транзистор T_1 должен иметь по возможности малый обратный ток. Исходя из этого, для повышения термостабильности задающего генератора можно рекомендовать применение кремниевых $p-n-p$ транзистора, например, П104—П106. Этот вариант был проверен практически и дал хорошие результаты.

Далее производят настройку генератора в режимах формирования и деления частоты, для чего на гнезда Γ_1 подают положительные импульсы, которые можно получить, например, от однополупериодного выпрямителя (без фильтра), нагруженного на делитель напряжения. Наблюдая за осциллограммами импульсов на гнездах Γ_2 или Γ_3 , подбирают величины резисторов R_{23} — R_{25} так, чтобы коэффициенты деления частоты импульсов соответствовали указанным на схеме.

Следующим этапом является настройка ждущего мультивибратора. Присоединив вход осциллографа к эмиттеру T_7 , подбирают C_{19} — C_{28} для получения длительностей импульсов, указанных на рис. 21.

В заключение проверяют форму и амплитуды импульсов на гнездах Γ_4 при различных положениях переключателя Π_5 . Возможные искажения импульсов устраняют подбором конденсатора C_{30} и резисторов R_{55} и R_{57} .

Окончательная проверка изготовленного генератора импульсов производилась при помощи электронного частотомера с цифровым отсчетом типа Ф519. Однако прибор может быть достаточно хорошо настроен и при наличии только вольтметра и импульсного осциллографа, если придерживаться рекомендуемой последовательности налаживания.

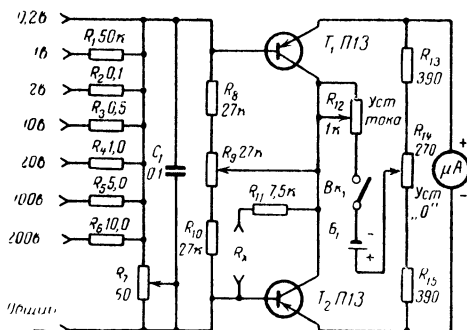


Рис. 24. Транзисторный вольтметр.

13. ТРАНЗИСТОРНЫЙ ВОЛЬТОМЕТР

При проверке и установке режимов описанных выше счетчиков и генератора требуется измерять напряжения от сотых долей вольта до сотен вольт. Для таких измерений необходим ламповый или

транзисторный вольтметр постоянного тока с высоким входным сопротивлением.

На рис. 24 приведена проверенная длительной эксплуатацией схема транзисторного вольтметра с входным сопротивлением 50 *ком/в*. Пределы измерения напряжений: 0,2; 1; 2; 10; 20; 100 и 200 *в*; сопротивлений: 500 *ом* — 1 *Мом*. Вольтметр состоит из резисторов R_1 — R_6 , служащих добавочными сопротивлениями, балансного усилителя постоянного тока по схеме с общим коллектором и микроамперметра со шкалой на 200 *мкА*. Измерение сопротивлений осуществляется за счет разбалансировки усилителя при подключении их к гнездам R_7 , благодаря чему отпадает необходимость в применении дополнительного источника тока для омметра. Прибор питается от одного элемента от батареи КБС-Л-0,5 или элемента ФМШ-0,25.

В вольтметре могут применяться транзисторы типа П13 или другие с коэффициентами усиления $B=20 \div 25$, отличающимися не более чем на 10%. Переменные резисторы — типа СПО-0,5, постоянные — типа МЛТ-0,25, причем R_1 — R_6 желательно подбирать из двух последовательно соединенных резисторов с 5%-ным допуском, контролируя показания прибора по образцовому вольтметру. Резисторы R_7 и R_9 служат для установки чувствительности и начальной балансировки усилителя и после налаживания прибора стопорятся. Шкала омметра градуируется по магазину сопротивлений или при помощи набора резисторов с точностью не менее 5%.

При эксплуатации вольтметра перед началом измерений закорачивают гнезда R_x и резистором R_{12} устанавливают отклонение стрелки на всю шкалу (0 шкалы омметра). Затем, разомкнув гнезда R_x , резистором R_{14} устанавливают стрелку на нуль (∞ шкалы омметра). После этого можно производить измерения. Повторная установка нуля необходима после примерно часовой работы прибора. Увеличение дрейфа нуля является признаком истощения элемента, который при этом подлежит замене.

ЗАКЛЮЧЕНИЕ

Описанные счетчики импульсов при сравнительной простоте схемного устройства и конструктивного выполнения достаточно экономичны. Если принять в качестве критерия экономичности расход мощности на единицу емкости электронной пересчетной схемы, то этот показатель равен.

для транзисторного счетчика с лампами накаливания	14 <i>мвт</i>
для транзисторной пересчетной декады (при пересчете на 10)	3,5 <i>мвт</i>
для счетчика на транзисторах с дополнительной симметрией	0,5 <i>мвт</i>
для тиратронного счетчика	0,3 <i>мвт</i>
для счетчика на декатронах и тиратронах	1 <i>мвт</i>

При увеличении числа счетных ячеек расход мощности на единицу емкости счетчика быстро уменьшается, так как потребляемая мощность возрастает в арифметической прогрессии, а емкость — в геометрической. Добавление к электронным схемам электромеханических счетчиков позволяет увеличить их емкость и сохранять результат счета при отключении источника питания.

Указанные достоинства описываемых приборов дают основания рекомендовать их радиолюбителям для применения в экономической и переносной аппаратуре.

Предлагаемые схемные и конструктивные решения не претендуют на окончательную завершенность и во многом могут быть улучшены при конструктивном сопряжении счетчиков с другими устройствами. Возможности улучшения электрических характеристик схем, в том числе и экономичности, также далеко не истерпаны и могут быть реализованы при их дальнейшем совершенствовании.

Использование положительных качеств описанных приборов в сочетании с критической оценкой и творческим стремлением к усовершенствованию должны содействовать читателю в его конструкторской деятельности.

ЛИТЕРАТУРА

- Голышев Л. К., Электронные цифровые вычислительные машины, изд-во «Техника», Киев, 1965, стр. 123—133, 162—171.
- Гусев В. В., Формирование импульсов, Воениздат, 1958, стр. 3—7.
- Терещук Р. М. и др., Справочник радиолюбителя, издание 5-е, изд-во «Техника», Киев, 1965, стр. 587—588, 643—652.
- Хесин А. Я., Импульсная техника, изд-во «Энергия», (МРБ, вып. 575), 1965, стр. 6—12, 100—119.
- Азарх С. X. и Фрид Е. А., Микроминиатюризация радиоэлектронной аппаратуры, Госэнергоиздат, (МРБ, вып. 490), М.—Л., 1963, стр. 55—60.
- Будинский Я., Транзисторные переключающие схемы, пер. с чешск., изд-во «Связь», 1965, стр. 326—348, 351—358, 361—364.
- Горн Л. С. и Хазанов Б. И., Регистраторы интенсивности излучений, Атомиздат, 1965, стр. 33—43, 62—71, 108—124.
- Мартынов Е. М., Бесконтактные переключающие устройства, Госэнергоиздат, (МРБ, вып. 397), М.—Л., 1961, стр. 29—36, 50—55.
- Шварц С., Полупроводниковые схемы, пер. с англ., Изд-во иностр. лит., 1962, стр. 214—217, 233—235, 290—291.
- Ваганов А., Счетчик радиоактивных частиц, «Радио», 1956, № 5, стр. 33—34.
- Карасев Г., Декатроны, «Радио», 1962, № 2, стр. 37—40.
- Кораблев Л. Н., Лампы с холодным катодом, Изд-во АН СССР, 1961, стр. 17—21, 86—93, 104—110.
- Липкин В. М., Декатроны и их применение, Госэнергоиздат (МРБ, вып. 359), М.—Л., 1960, стр. 5—12, 27—61.
- Маркус Дж., Схемы электронной автоматики, пер. с англ., Изд-во иностр. лит., 1962, стр. 106—109.
- Грибанов Ю. И., Измерение напряжений в высокоомных цепях, Госэнергоиздат (МРБ, вып. 429), М.—Л., 1961, стр. 14—20.
- Капустин И., Авометр на полупроводниковых триодах, «Радио», 1959, № 10, стр. 55—57.
- Карролл Дж., Электронные схемы на полупроводниковых триодах, пер. с англ. Изд-во иностр. лит., 1959, стр. 47—48.
- Яковлев В. Н., Импульсные генераторы на транзисторах, Гостехиздат УССР, Киев, 1963, стр. 165—167, 181—182.
-

ОГЛАВЛЕНИЕ

Предисловие	3
Глава первая. Электрические импульсы и их счет	4
1. Краткие сведения об электрических импульсах	4
2. Применение счетчиков импульсов	5
3. Принцип действия счетчиков импульсов	5
Глава вторая. Транзисторные счетчики импульсов	8
4. Транзисторный формирователь импульсов с электро- механическим счетчиком	8
5. Транзисторный счетчик импульсов	10
6. Экономичная транзисторная пересчетная декада	15
7. Счетчик импульсов на транзисторах с дополнительной симметрией	20
Глава третья. Счетчики импульсов на приборах тлею- щего разряда	23
8. Тиратронный формирователь импульсов с электроме- ханическим счетчиком	23
9. Тиратронный счетчик импульсов	24
10. Счетчик импульсов на декатронах и тиратронах	27
11. Питание счетчиков на приборах тлеющего разряда	31
Глава четвертая. Приборы для налаживания счетчиков	31
12. Транзисторный генератор импульсов	31
13. Транзисторный вольтметр	38
Заключение	39
Литература	40



Цена 13 коп.